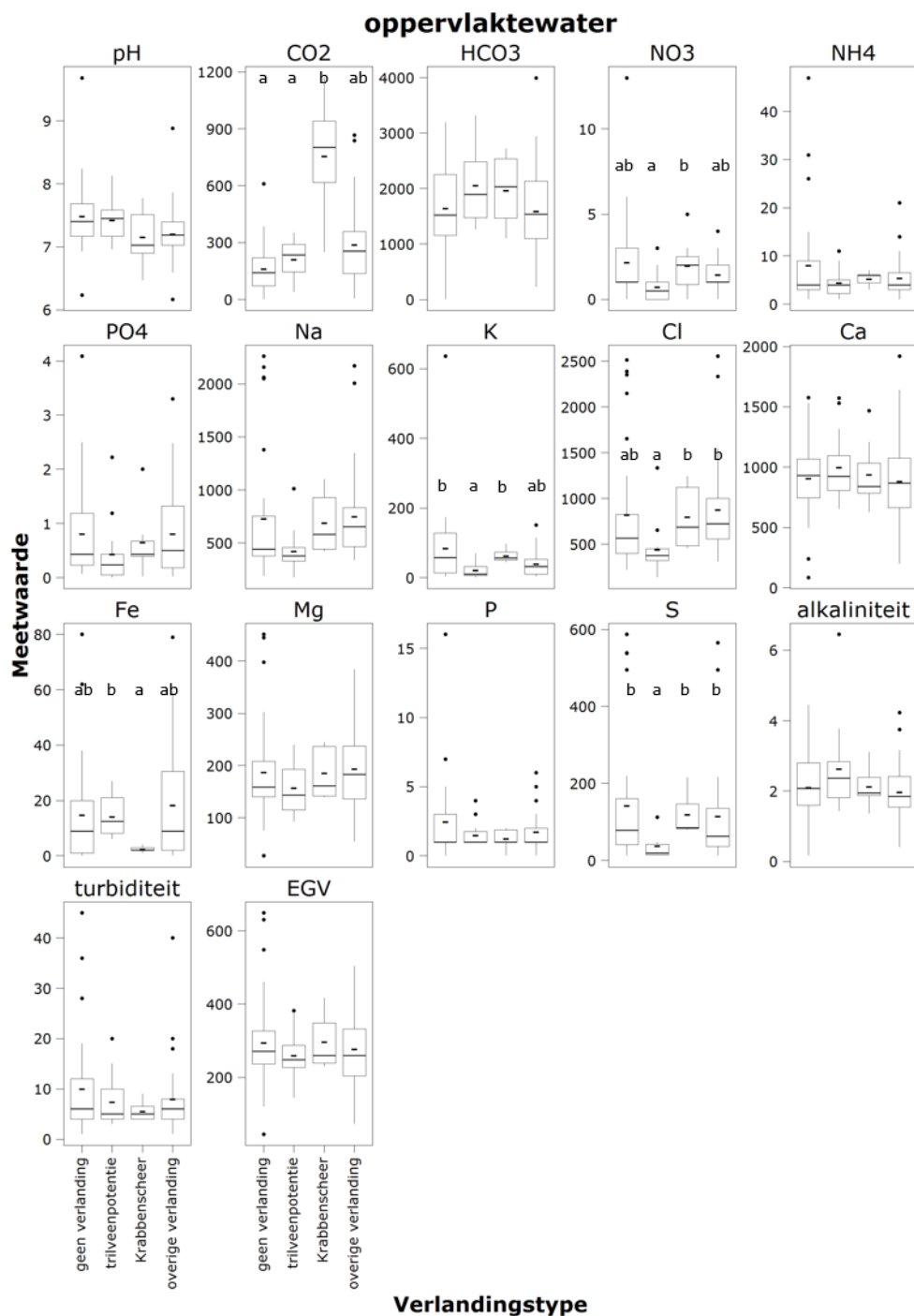
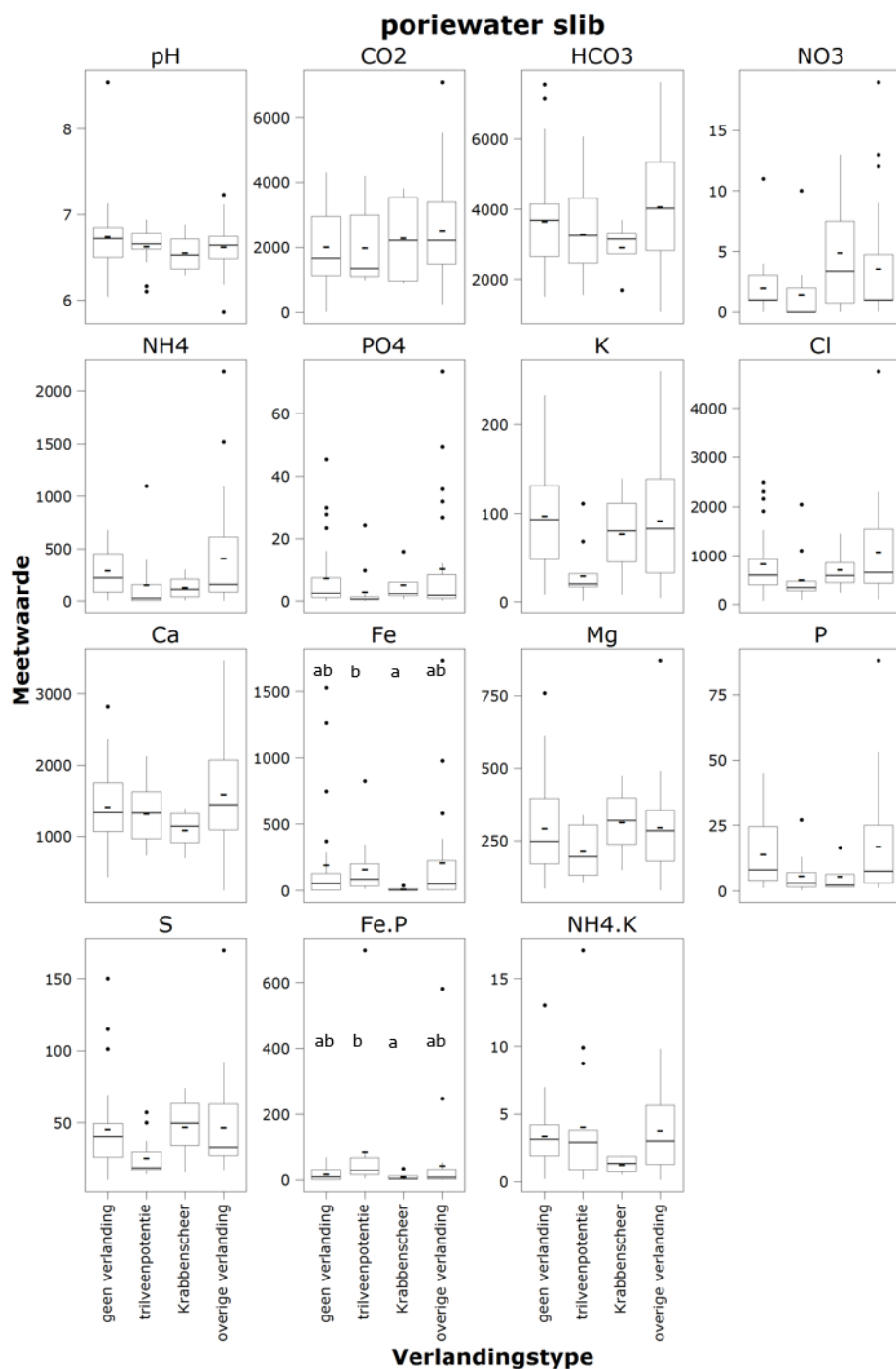


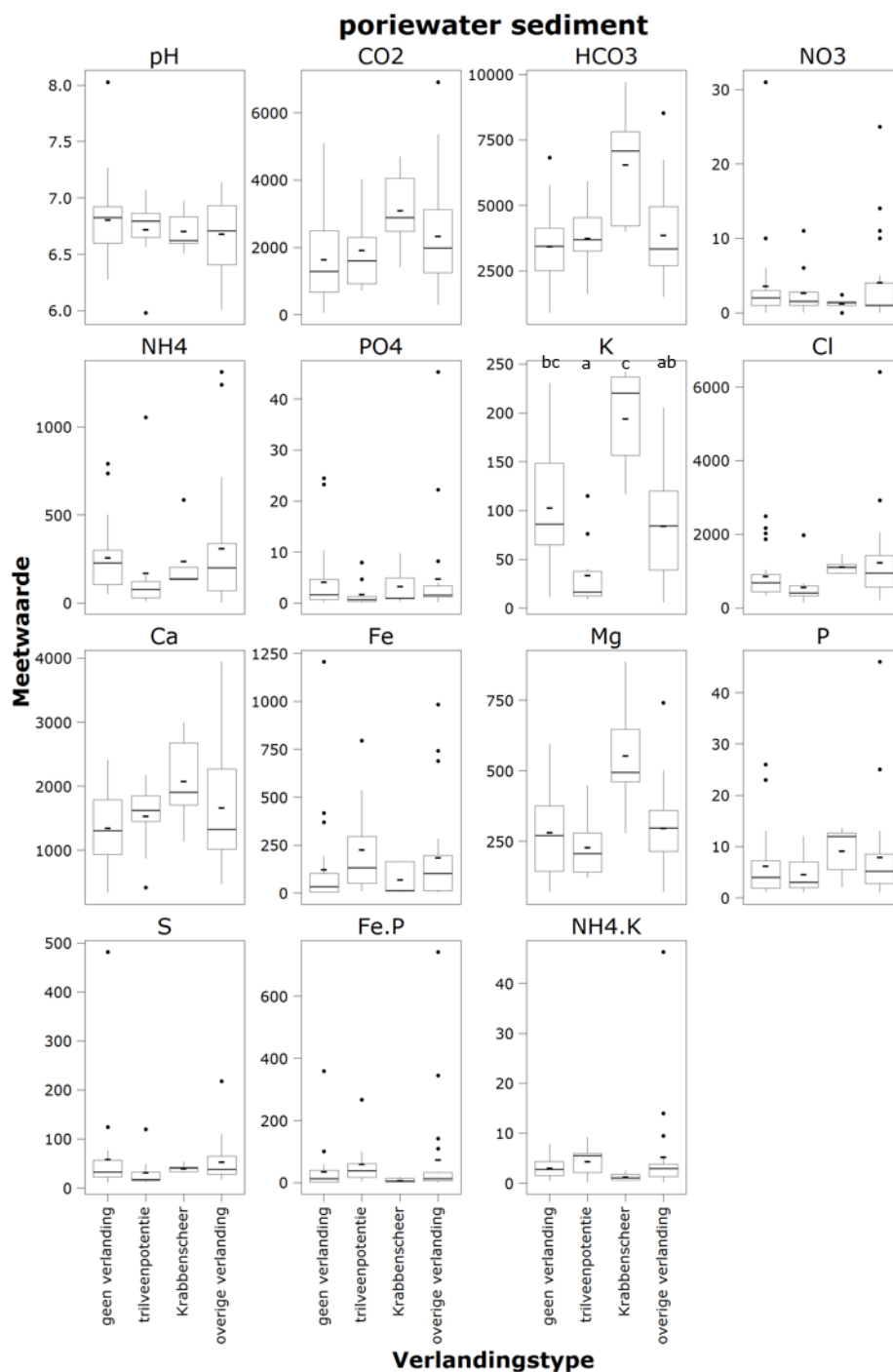
# Bijlage 7 Boxplots standplaatsfactoren



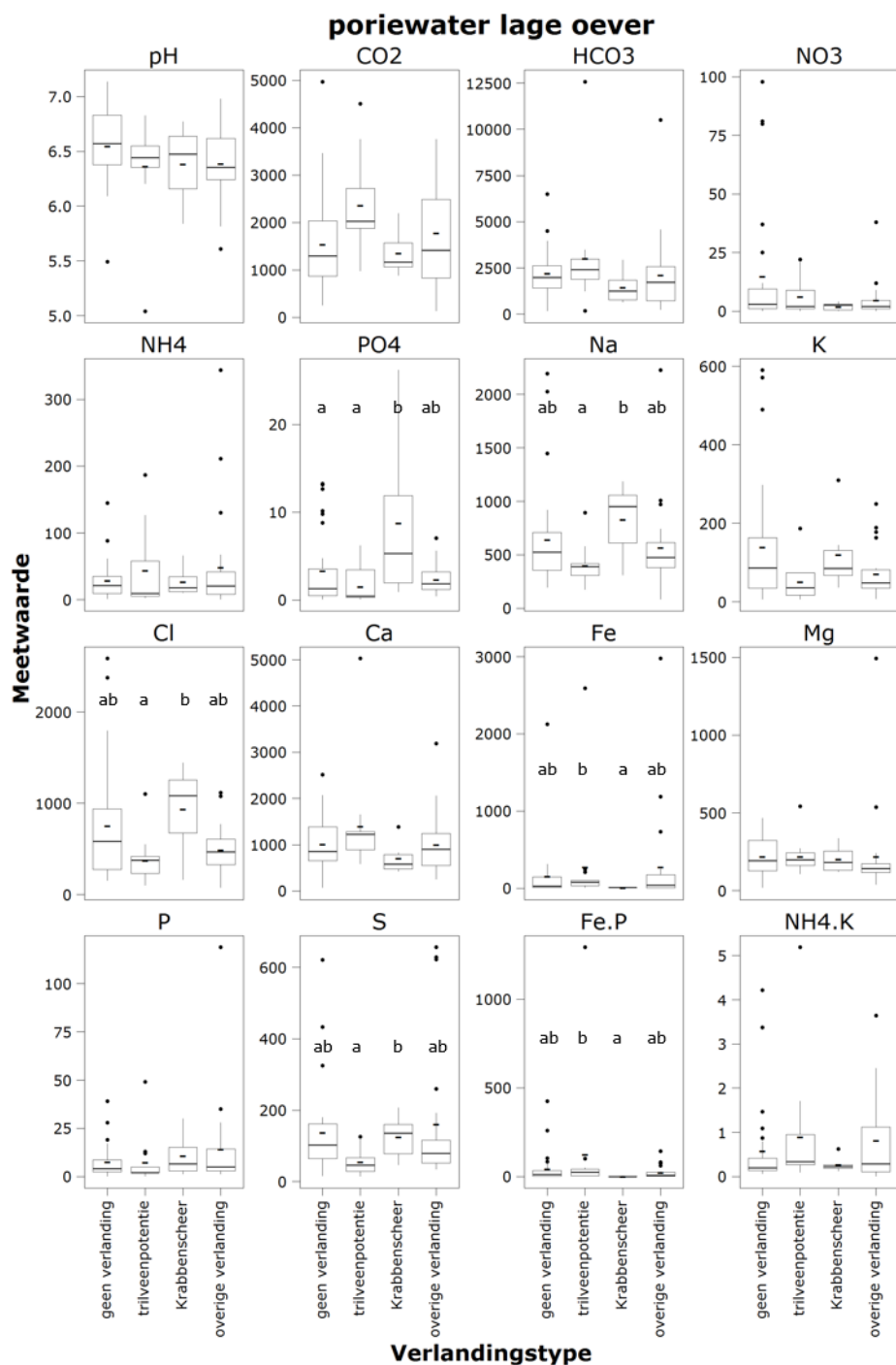
Figuur B7.1. Boxplots van waarden van parameters in het **oppervlaktewater** voor verschillende verlandingsstypen. Concentraties in  $\mu\text{mol/l}$ , EGV in  $\mu\text{S/cm}$ , alkaliniteit in  $\text{meq/l}$ . Letters geven significante verschillen ( $p \leq 0,05$ ) weer tussen verlandingsstypen (ANOVA op getransformeerde waarden). Boxplots of parameter values in the **surfacewater** for different types of terrestrialisation. Concentrations in  $\mu\text{mol/l}$ , EC in  $\mu\text{S/cm}$ , alkalinity in  $\text{meq/l}$ . Letters indicate significant differences ( $p \leq 0,05$ ) among types (ANOVA on transformed values).



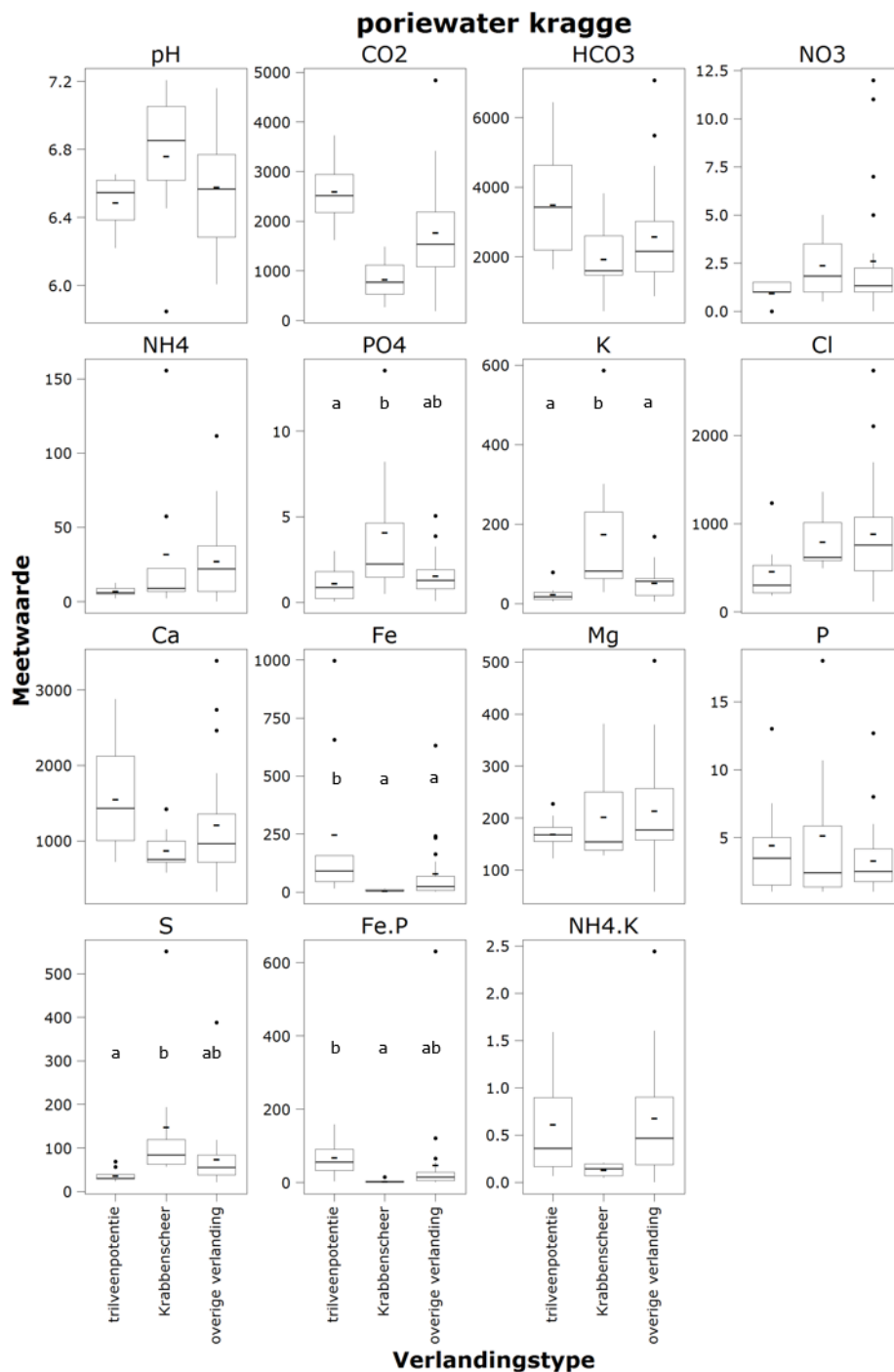
*Figuur B7.2. Boxplots van waarden van parameters in het **poriewater van het slib** voor verschillende verlandingsstypen. Concentraties in  $\mu\text{mol/l}$ . Letters geven significante verschillen ( $p \leq 0,05$ ) weer tussen verlandingsstypen (ANOVA op getransformeerde waarden). Fe.P = Fe/P, NH4.K =  $\text{NH}_4/\text{K}$ . Boxplots of parameter values in the **sludge pore water** for different types of terrestrialisation. Concentrations in  $\mu\text{mol/l}$ . Letters indicate significant differences ( $p \leq 0,05$ ) among types (ANOVA on transformed values). Fe.P = Fe/P, NH4.K =  $\text{NH}_4/\text{K}$ .*



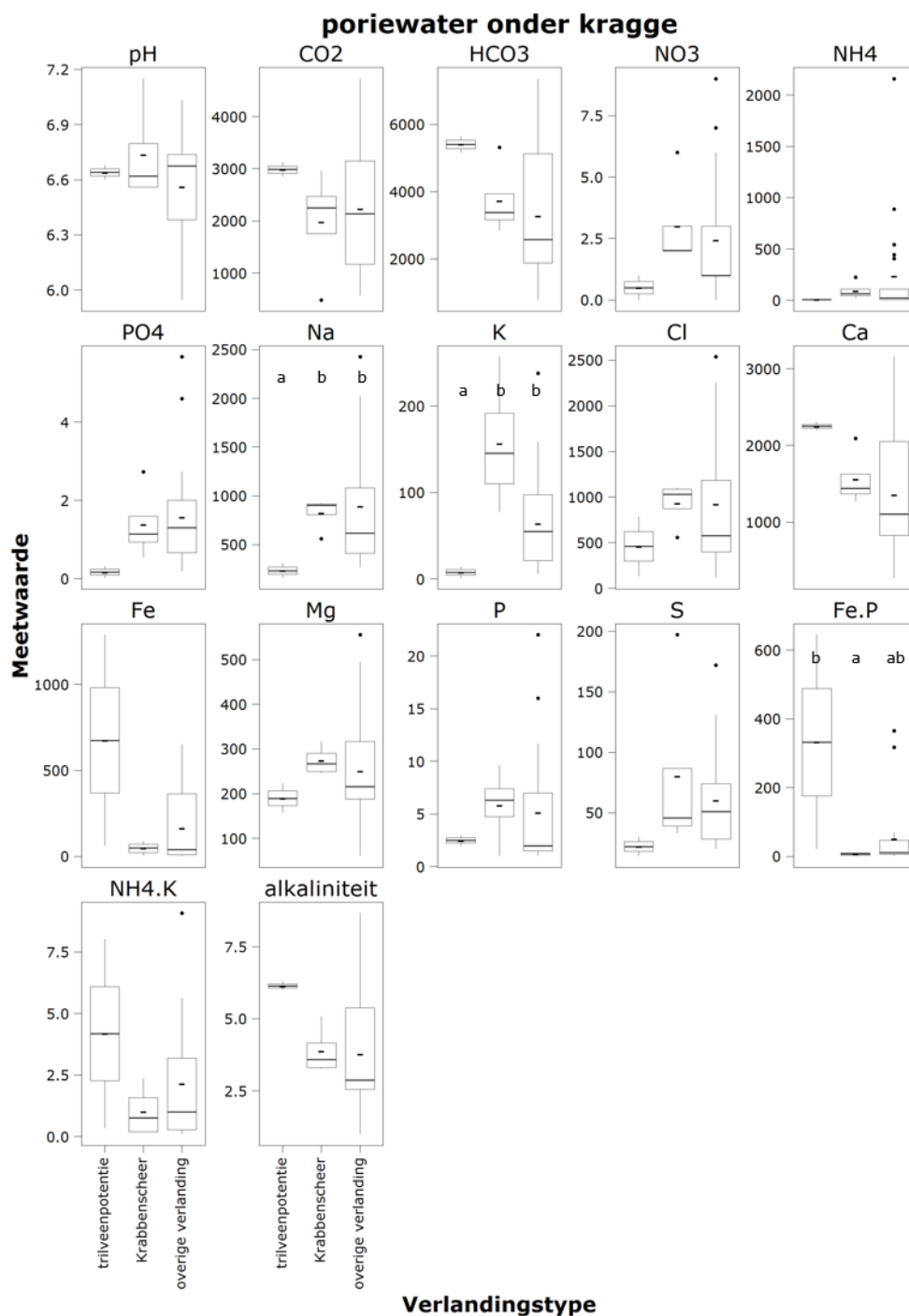
Figuur B7.3. Boxplots van waarden van parameters in het **poriewater van het sediment** voor verschillende verlandingsstypen. Concentraties in  $\mu\text{mol/l}$ . Letters geven significante verschillen ( $p \leq 0,05$ ) weer tussen verlandingsstypen (ANOVA op getransformeerde waarden). Fe.P = Fe/P, NH4.K =  $\text{NH}_4/\text{K}$ . Boxplots of parameter values in the **sediment pore water** for different types of terrestrialisation. Concentrations in  $\mu\text{mol/l}$ . Letters indicate significant differences ( $p \leq 0,05$ ) among types (ANOVA on transformed values). Fe.P = Fe/P, NH4.K =  $\text{NH}_4/\text{K}$ .



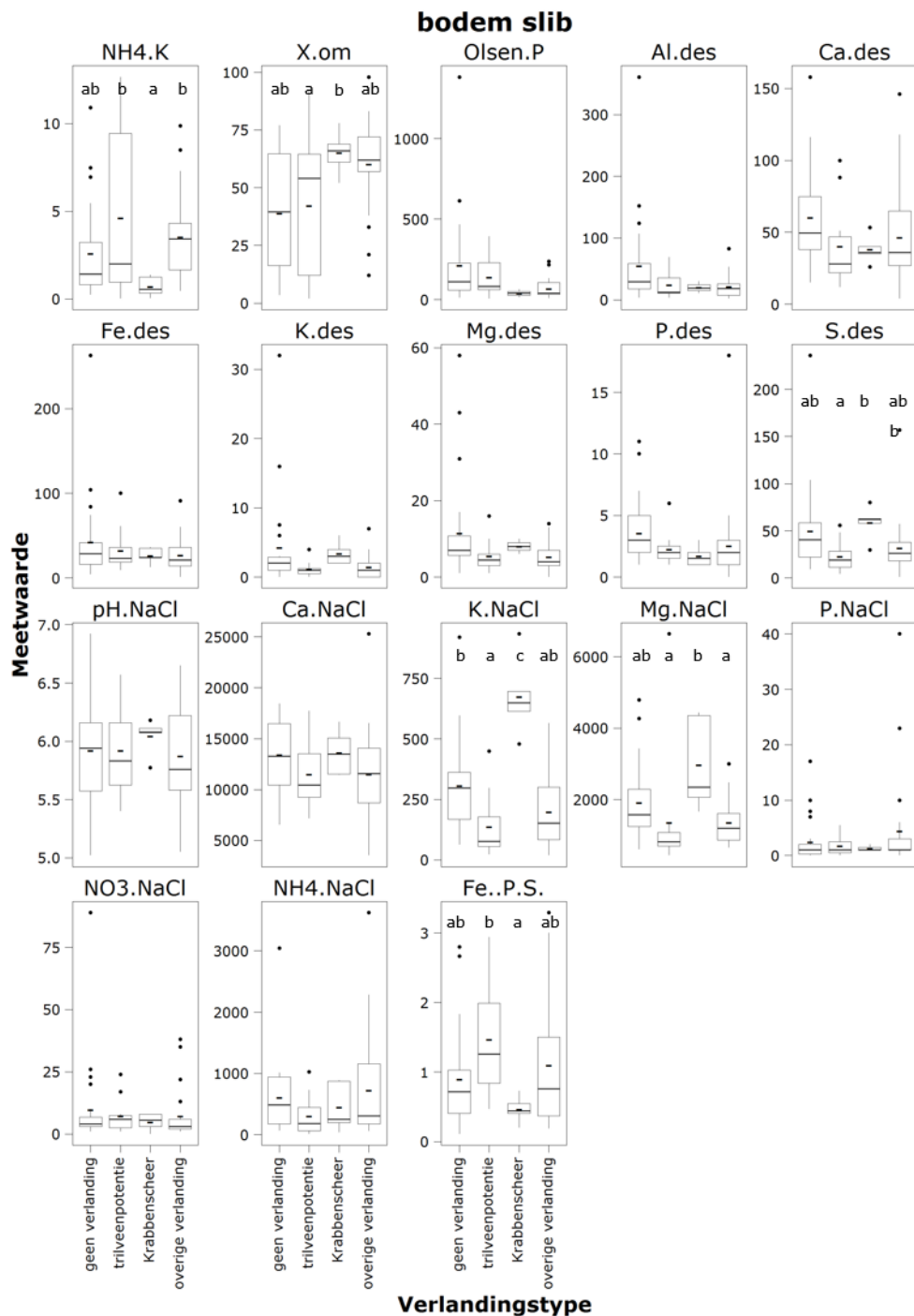
**Figuur B7.4.** Boxplots van waarden van parameters in het **poriewater van de lage oever** (20 cm van waterlijn) voor verschillende verlandingsstypen. Concentraties in  $\mu\text{mol/l}$ . Letters geven significante verschillen ( $p \leq 0,05$ ) weer tussen verlandingsstypen (ANOVA op getransformeerde waarden).  $\text{Fe.P} = \text{Fe/P}$ ,  $\text{NH4.K} = \text{NH}_4/\text{K}$ . . Boxplots of parameter values in the **pore water of the lower shoreline** for different types of terrestrialisation. Concentrations in  $\mu\text{mol/l}$ . Letters indicate significant differences ( $p \leq 0,05$ ) among types (ANOVA on transformed values).  $\text{Fe.P} = \text{Fe/P}$ ,  $\text{NH4.K} = \text{NH}_4/\text{K}$ .



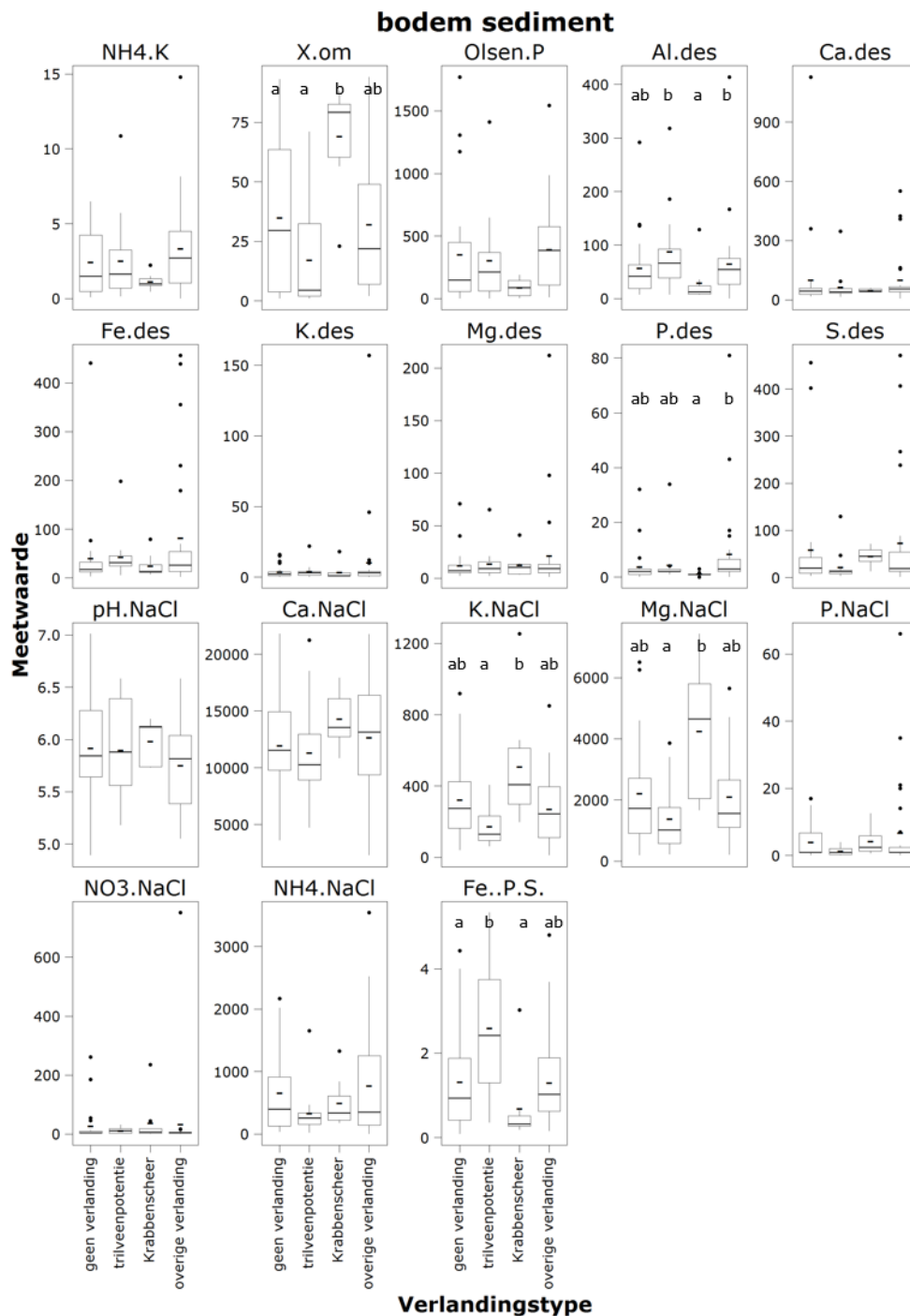
Figuur B7.5. Boxplots van waarden van parameters in het **poriewater van de drijvende kragge** voor verschillende verlandingsstypen. Concentraties in  $\mu\text{mol/l}$ . Letters geven significante verschillen ( $p \leq 0,05$ ) weer tussen verlandingsstypen (ANOVA op getransformeerde waarden). Fe.P = Fe/P, NH4.K =  $\text{NH}_4/\text{K}$ . Boxplots of parameter values in the **pore water of the floating quaking fen** for different types of terrestrialisation. Concentrations in  $\mu\text{mol/l}$ . Letters indicate significant differences ( $p \leq 0,05$ ) among types (ANOVA on transformed values). Fe.P = Fe/P, NH4.K =  $\text{NH}_4/\text{K}$ .



Figuur B7.6. Boxplots van waarden van parameters in het **poriewater onder de drijvende kragge** voor verschillende verlandingsstypen. Concentraties in  $\mu\text{mol/l}$ . Letters geven significante verschillen ( $p \leq 0,05$ ) weer tussen verlandingsstypen (ANOVA op getransformeerde waarden). Fe.P = Fe/P, NH4.K =  $\text{NH}_4/\text{K}$ . Boxplots of parameter values in the **pore water below the floating quaking fen** for different types of terrestrialisation. Concentrations in  $\mu\text{mol/l}$ . Letters indicate significant differences ( $p \leq 0,05$ ) among types (ANOVA on transformed values). Fe.P = Fe/P, NH4.K =  $\text{NH}_4/\text{K}$ .

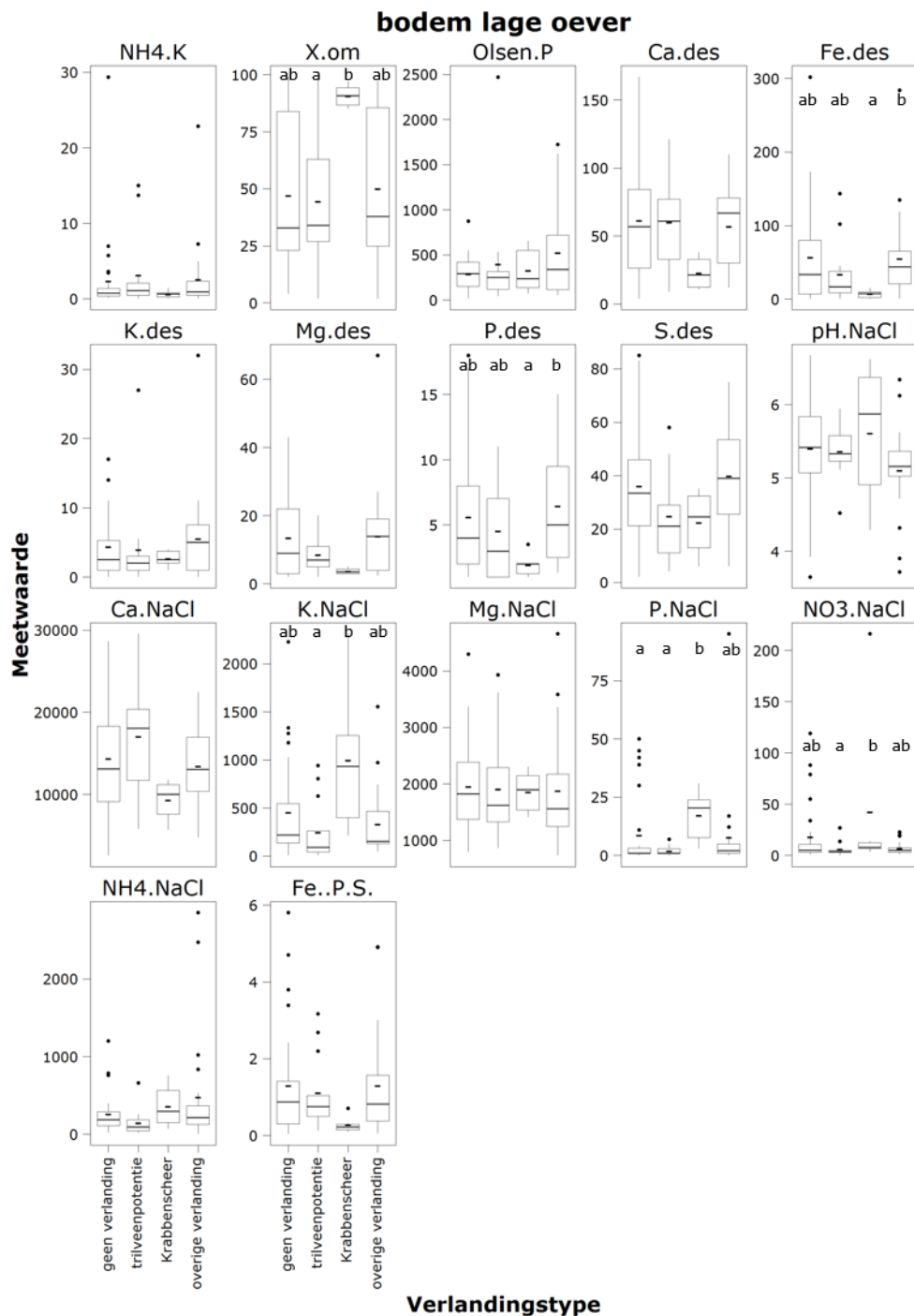


Figuur B7.7. Boxplots van waarden van parameters in de **bodem in het slib** voor verschillende verlandingsstypen. Concentraties in  $\mu\text{mol/l}$  bodem. Letters geven significante verschillen ( $p \leq 0,05$ ) weer tussen verlandingsstypen (ANOVA op getransformeerde waarden).  $\text{NH}_4.\text{K} = \text{NH}_4\text{-NaCl}/\text{K-NaCl}$ .  $\text{X.om} = \% \text{organische stof}$ ,  $\text{Olsen.P} = \text{P uit het Olsenextract}$ .  $\text{X.des} = \text{totaalconcentratie van element uit de destructie}$ ,  $\text{x.NaCl} = \text{uitwisselbare concentratie in NaCl-extract}$ ,  $\text{Fe..P.S.} = \text{Fe-totaal}/(\text{Ptotaal} + \text{Stotaal})$ . Boxplots of parameter values in the **sludge soil** for different types of terrestrialisation. Concentrations in  $\mu\text{mol/l}$  soil. Letters indicate significant differences ( $p \leq 0,05$ ) among types (ANOVA on transformed values).  $\text{NH}_4.\text{K} = \text{NH}_4\text{-NaCl}/\text{K-NaCl}$ .  $\text{X.om} = \% \text{organic matter}$ ,  $\text{Olsen.P} = \text{P from Olsen extract}$ .  $\text{X.des} = \text{total concentration of the element from the destruction}$ ,  $\text{x.NaCl} = \text{exchangeable concentration in the NaCl-extract}$ ,  $\text{Fe..P.S.} = \text{Fe-total}/(\text{Ptotaal} + \text{Stotaal})$ .

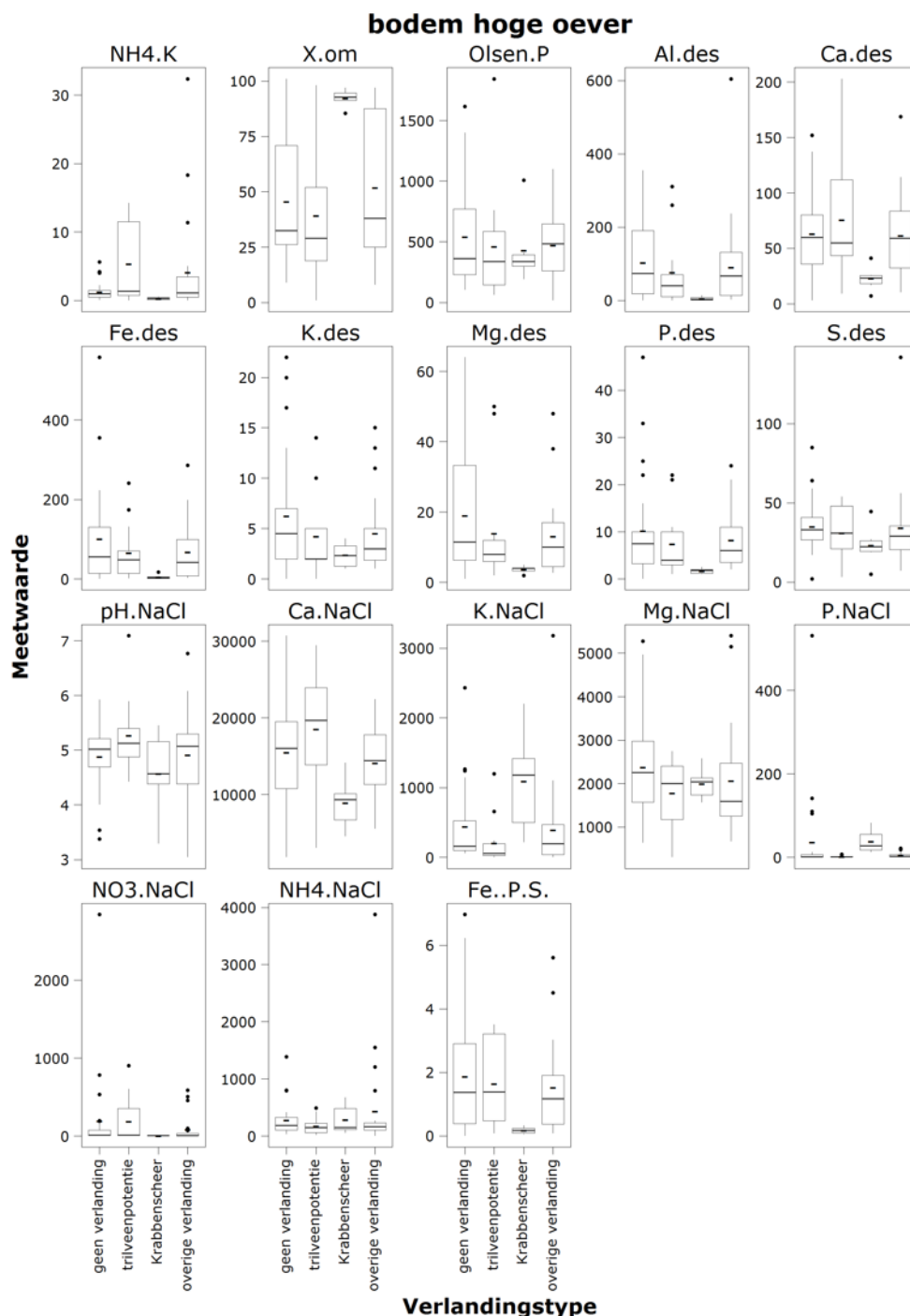


*Figuur B7.8. Boxplots van waarden van parameters in de **bodem in het sediment** voor verschillende verlandingsstypen. Concentraties in  $\mu\text{mol/l}$  bodem. Letters geven significante verschillen ( $p \leq 0,05$ ) weer tussen verlandingsstypen (ANOVA op getransformeerde waarden).  $\text{NH}_4.\text{K} = \text{NH}_4\text{-NaCl}/\text{K-NaCl}$ .  $\text{X.om} = \%$ organische stof,  $\text{Olsen.P} = \text{P}$  uit het Olsenextract.  $\text{X.des} =$  totaalconcentratie van element uit de destructie,  $\text{x.NaCl} =$  uitwisselbare concentratie in NaCl-extract,  $\text{Fe..P.S.} = \text{Fe-totaal}/(\text{Ptotaal} + \text{Stotaal})$ . Boxplots of parameter values in the **sediment soil** for different types of terrestrialisation. Concentrations in  $\mu\text{mol/l}$  soil. Letters indicate significant differences ( $p \leq 0,05$ ) among types (ANOVA on transformed values).  $\text{NH}_4.\text{K} = \text{NH}_4\text{-NaCl}/\text{K-NaCl}$ .  $\text{X.om} = \%$ organic matter,  $\text{Olsen.P} = \text{P}$  from Olsen extract.  $\text{X.des} =$  total concentration of the element from the destruction,  $\text{x.NaCl} =$  exchangeable concentration in the NaCl-extract,  $\text{Fe..P.S.} = \text{Fe-totaal}/(\text{Ptotaal} + \text{Stotaal})$ .*

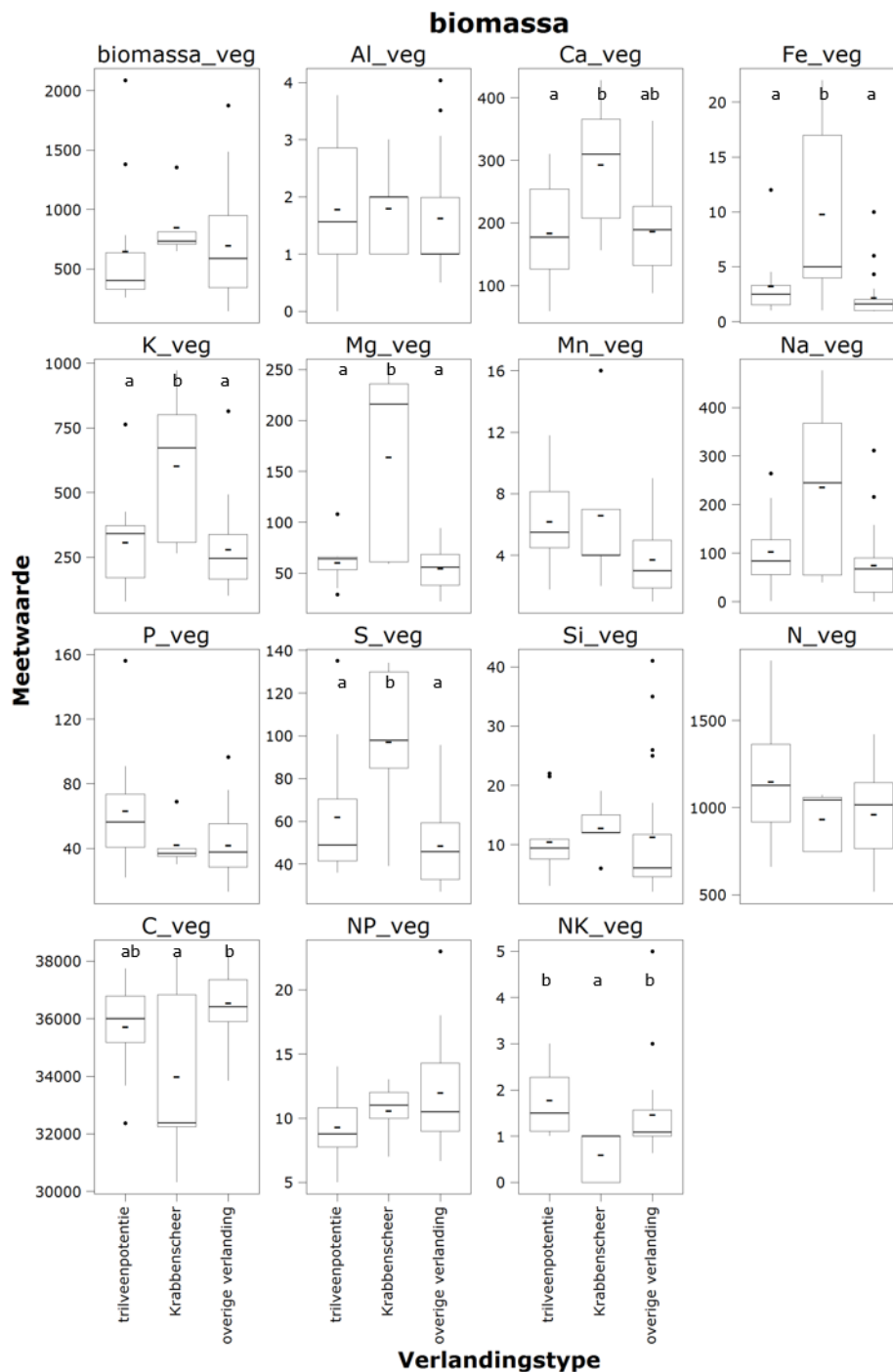




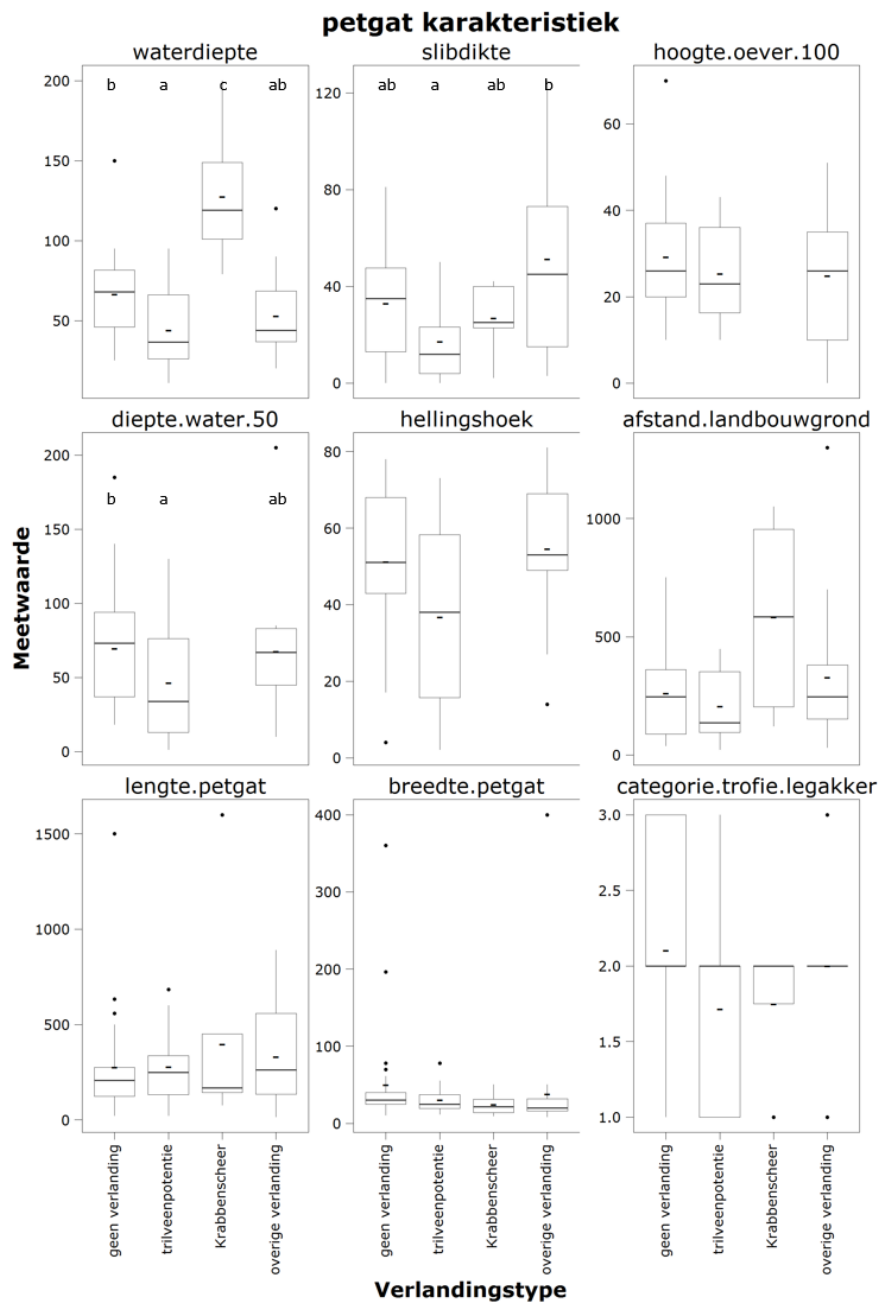
Figuur B7.9. Boxplots van waarden van parameters in de **bodem lage oever** (20 cm van waterlijn) voor verschillende verlandingsstypen. Concentraties in  $\mu\text{mol/l}$  bodem. Letters geven significante verschillen ( $p \leq 0,05$ ) weer tussen verlandingsstypen (ANOVA op getransformeerde waarden).  $\text{NH}_4.\text{K} = \text{NH}_4\text{-NaCl}/\text{K-NaCl}$ .  $\text{X.om} = \%$ organische stof,  $\text{Olsen.P} = \text{P}$  uit het Olsenextract.  $\text{X.des} =$  totaalconcentratie van element uit de destructie,  $\text{x.NaCl} =$  uitwisselbare concentratie in NaCl-extract,  $\text{Fe..P.S.} = \text{Fe-totaal}/(\text{Ptotaal} + \text{Stotaal})$ . Boxplots of parameter values in the **soil of the lower shoreline** for different types of terrestrialisation. Concentrations in  $\mu\text{mol/l}$  soil. Letters indicate significant differences ( $p \leq 0,05$ ) among types (ANOVA on transformed values).  $\text{NH}_4.\text{K} = \text{NH}_4\text{-NaCl}/\text{K-NaCl}$ .  $\text{X.om} = \%$ organic matter,  $\text{Olsen.P} = \text{P}$  from Olsen extract.  $\text{X.des} =$  total concentration of the element from the destruction,  $\text{x.NaCl} =$  exchangeable concentration in the NaCl-extract,  $\text{Fe..P.S.} = \text{Fe-total}/(\text{Ptotal} + \text{Stotal})$ .



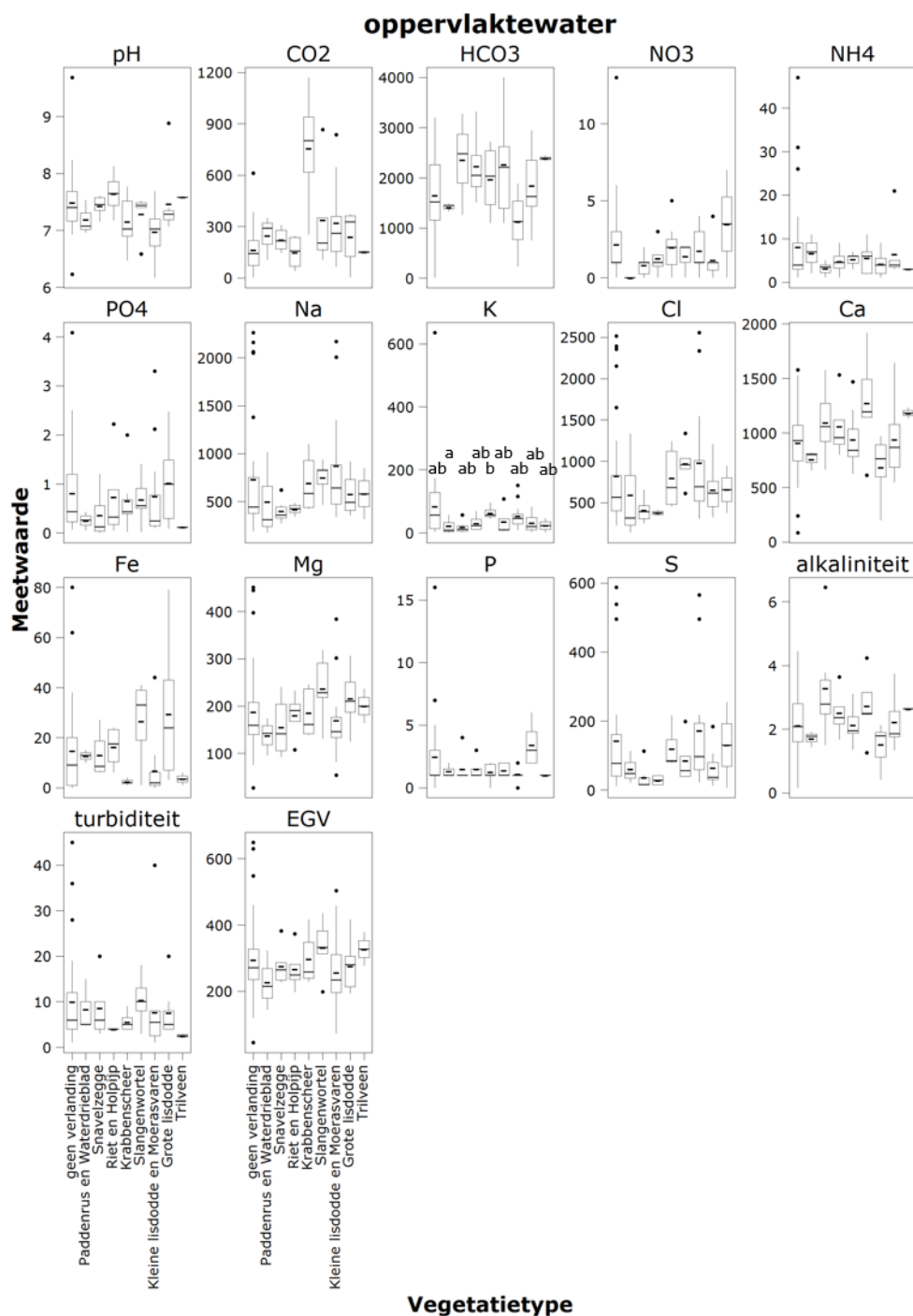
Figuur B7.10. Boxplots van waarden van parameters in de **bodem hoge oever** (100 cm van waterlijn) voor verschillende verlandingsstypen. Concentraties in  $\mu\text{mol/l}$  bodem. Letters geven significante verschillen ( $p \leq 0,05$ ) weer tussen verlandingsstypen (ANOVA op getransformeerde waarden).  $\text{NH}_4.\text{K}$  =  $\text{NH}_4\text{-NaCl/K-NaCl}$ .  $\text{X.om}$  = %organische stof,  $\text{Olsen.P}$  = P uit het Olsenextract.  $\text{X.des}$  = totaalconcentratie van element uit de destructie,  $\text{x.NaCl}$  = uitwisselbare concentratie in NaCl-extract,  $\text{Fe..P.S.}$  =  $\text{Fe-totaal}/(\text{Ptotaal} + \text{Stotaal})$ . Boxplots of parameter values in the **soil of the upper shoreline** for different types of terrestrialisation. Concentrations in  $\mu\text{mol/l}$  soil. Letters indicate significant differences ( $p \leq 0,05$ ) among types (ANOVA on transformed values).  $\text{NH}_4.\text{K}$  =  $\text{NH}_4\text{-NaCl/K-NaCl}$ .  $\text{X.om}$  = %organic matter,  $\text{Olsen.P}$  = P from Olsen extract.  $\text{X.des}$  = total concentration of the element from the destruction,  $\text{x.NaCl}$  = exchangeable concentration in the NaCl-extract,  $\text{Fe..P.S.}$  =  $\text{Fe-total}/(\text{Ptotaal} + \text{Stotaal})$ .



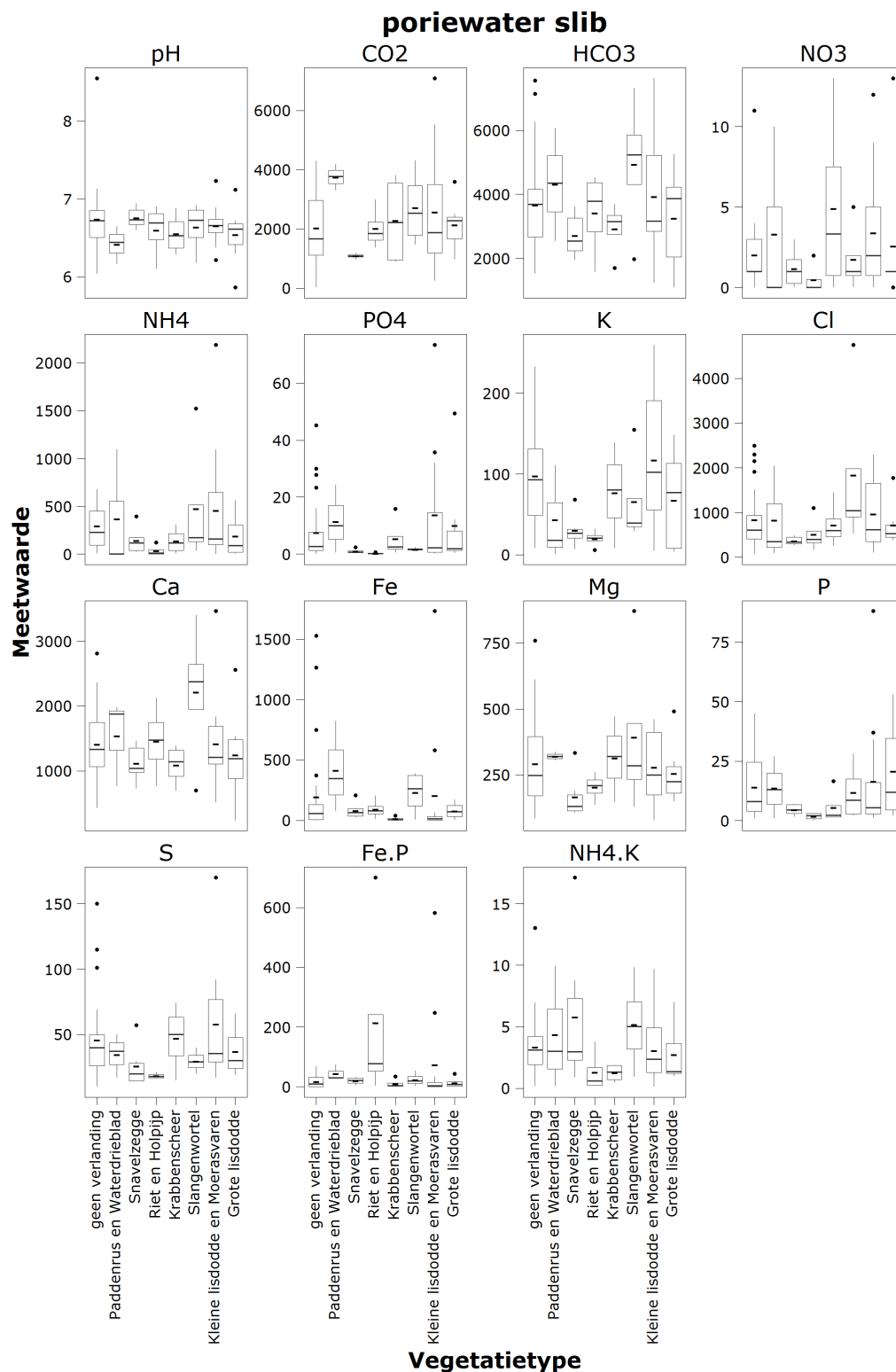
Figuur B7.11. Boxplots van waarden van parameters in de **bovengrondse biomassa** voor verschillende verlandingsstypen. Biomassa\_veg = bovengrondse biomassa (drooggewicht) in g/m<sup>2</sup>. Concentraties in mmol/g dw. Letters geven significante verschillen ( $p \leq 0,05$ ) weer tussen verlandingsstypen (ANOVA op getransformeerde waarden). NP= N/P-verhouding in g/g. NK=N/K-verhouding in g/g. Boxplots of parameter values in the **aboveground biomass** for different types of terrestrialisation. Concentrations in mmol/g dw. Letters indicate significant differences ( $p \leq 0,05$ ) among types (ANOVA on transformed values). NP= N/Pratio in g/g. NK=N/K ratio in g/g.



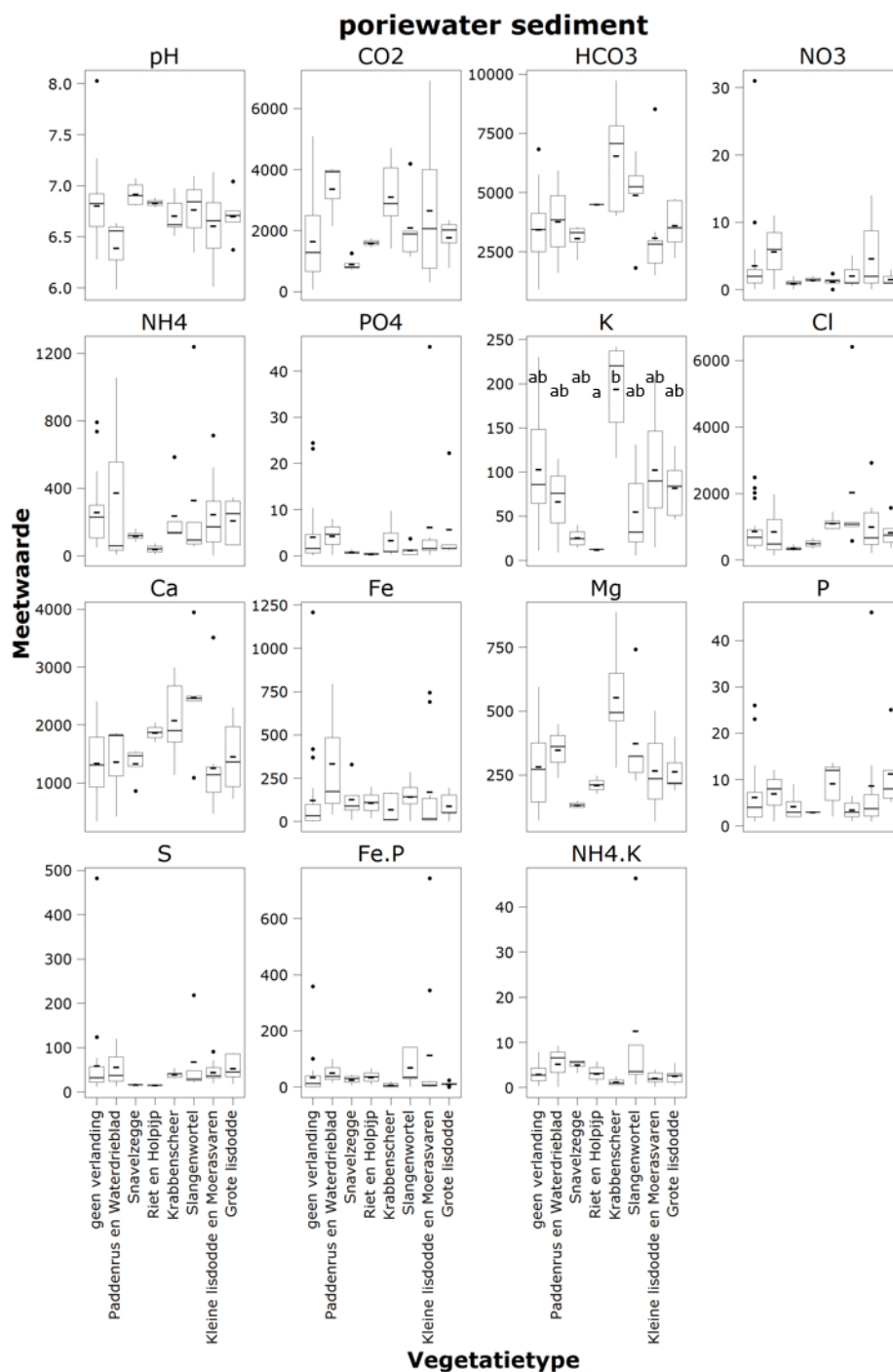
*Figuur B7.12. Boxplots van waarden van **petgatkarakteristieken** voor verschillende verlandingstypen. Letters geven significante verschillen ( $p \leq 0,05$ ) weer tussen verlandingstypen (ANOVA op getransformeerde waarden). Hoogte.oever.100 = hoogte oever op 100 cm van waterlijn, diepte.water.50 = diepte van water op 50 cm van de oever. Hellingshoek is de hoek in graden die de oever met de legakker maakt over de eerste 30 cm van de oever ( $90^\circ$  = stijl,  $0^\circ$  = vlak). Afstand.landbouwgrond = afstand van petgat tot dichtstbijzijnde landbouwgrond ivm fourageerplaats ganzen, categorie.trofie.legakker = in het veld aan de hand van vegetatie ingeschatte trofiegraad van de legakker (1=mesotroof, 2= eutroof, 3= hypertroof). Boxplots of parameter values in the **aboveground biomass** for different types of terrestrialisation. Hoogte.oever.100 = height of shore at 100 cm from te shoreline, diepte.water.50 = water depth at 50 cm from the shoreline. Hellingshoek is the angle in of the shore over the first 30 cm from the shoreline ( $90^\circ$  = steep,  $0^\circ$  = flat). Afstand.landbouwgrond = distance to nearest agricultural land in connection with feeding places for geese, categorie.trofie.legakker = trophic state of the shore estimated in the field (1=mesotrophic, 2= eutrophic, 3= hypertrophic).*



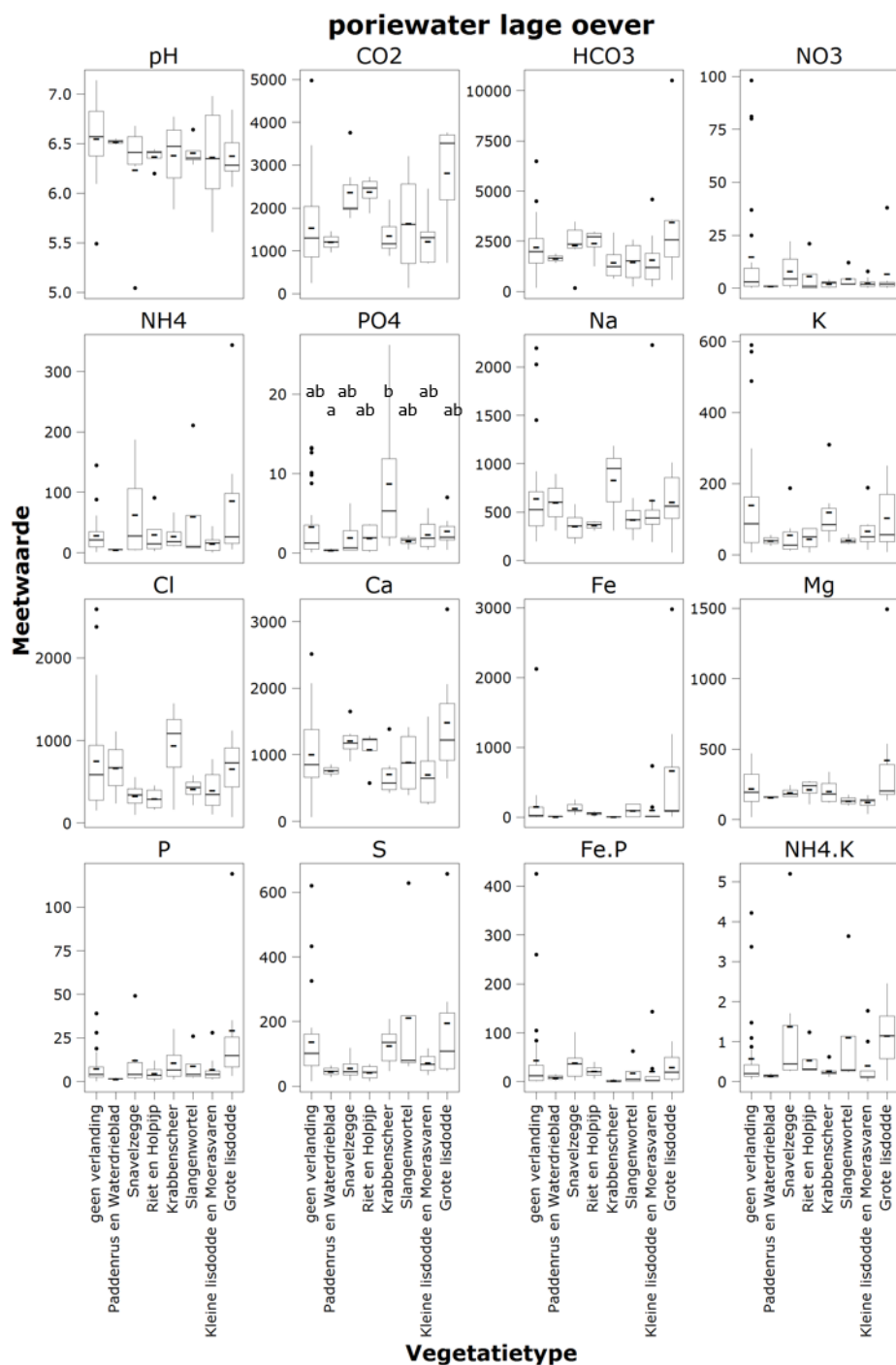
Figuur B7.13 Boxplots van waarden van parameters in het **oppervlaktewater** voor verschillende vegetatietypen. Concentraties in  $\mu\text{mol/l}$ , EGV in  $\mu\text{S/cm}$ , alkaliniteit in  $\text{meq/l}$ . Letters geven significante verschillen ( $p \leq 0,05$ ) weer tussen vegetatietypen (ANOVA op getransformeerde waarden).). Boxplots of parameter values in the **surfacewater** for different of plant communities. Concentrations in  $\mu\text{mol/l}$ , EC in  $\mu\text{S/cm}$ , alkalinity in  $\text{meq/l}$ . Letters indicate significant differences ( $p \leq 0,05$ ) among types (ANOVA on transformed values).



Figuur B7.14. Boxplots van waarden van parameters in het **poriewater van het slib** voor verschillende vegetietypen. Concentraties in  $\mu\text{mol/l}$ . Letters geven significante verschillen ( $p \leq 0,05$ ) weer tussen vegetietypen (ANOVA op getransformeerde waarden). Fe.P = Fe/P, NH4.K =  $\text{NH}_4/\text{K}$ . Boxplots of parameter values in the **sludge pore water** for different plant communities. Concentrations in  $\mu\text{mol/l}$ . Letters indicate significant differences ( $p \leq 0,05$ ) among types (ANOVA on transformed values). Fe.P = Fe/P, NH4.K =  $\text{NH}_4/\text{K}$ .

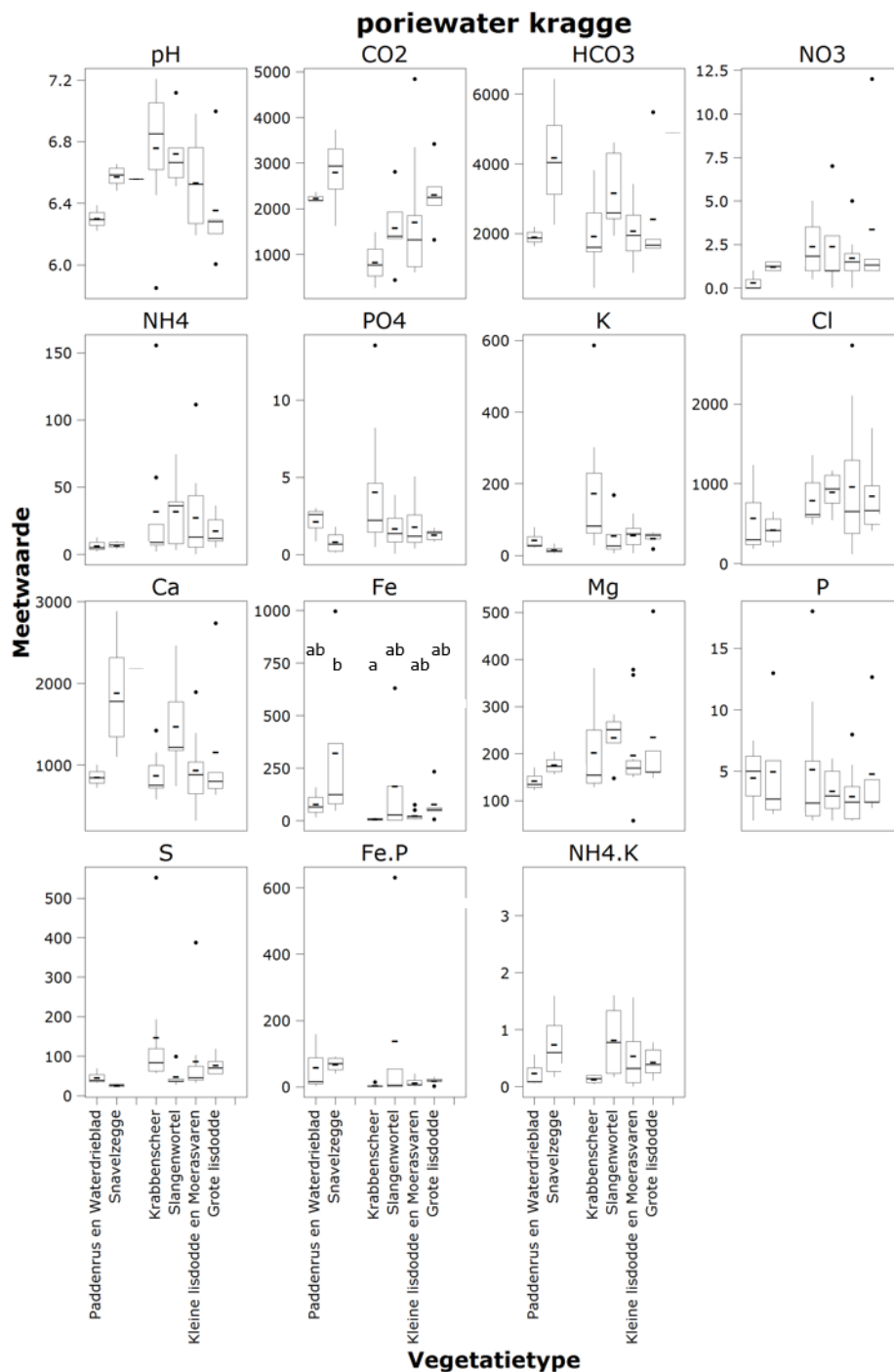


Figuur B7.15. Boxplots van waarden van parameters in het **poriewater van het sediment** voor verschillende vegetatietypen. Concentraties in  $\mu\text{mol/l}$ . Letters geven significante verschillen ( $p \leq 0,05$ ) weer tussen vegetatietypen (ANOVA op getransformeerde waarden).  $\text{Fe.P} = \text{Fe}/\text{P}$ ,  $\text{NH4.K} = \text{NH}_4/\text{K}$ . Boxplots of parameter values in the **sediment pore water** for different plant communities. Concentrations in  $\mu\text{mol/l}$ . Letters indicate significant differences ( $p \leq 0,05$ ) among types (ANOVA on transformed values).  $\text{Fe.P} = \text{Fe}/\text{P}$ ,  $\text{NH4.K} = \text{NH}_4/\text{K}$ .

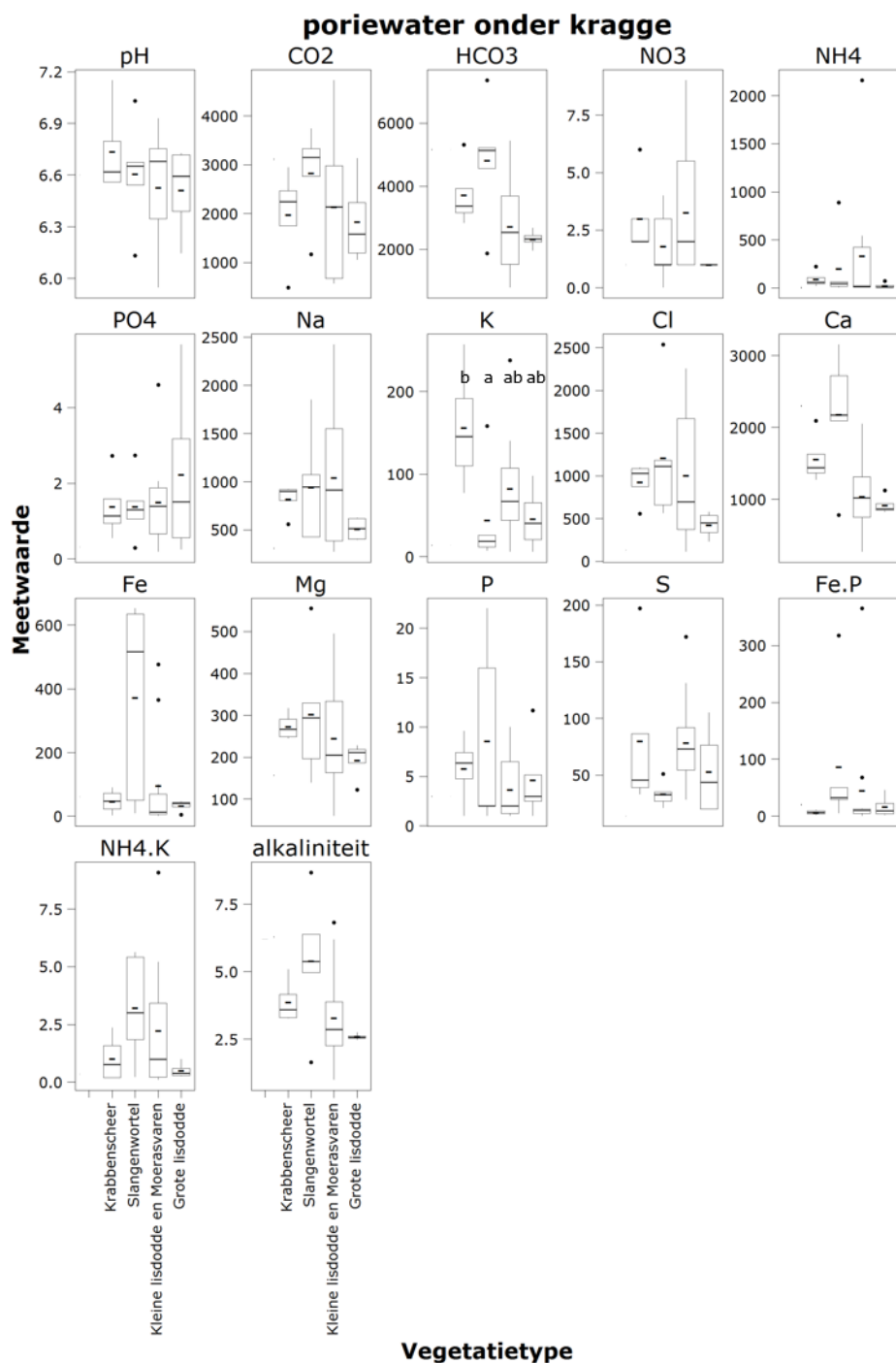


**Figuur B7.16.** Boxplots van waarden van parameters in het **poriewater van de lage oever** (20 cm van waterlijn) voor verschillende vegetatietypen. Concentraties in  $\mu\text{mol/l}$ . Letters geven significante verschillen ( $p \leq 0,05$ ) weer tussen vegetatietypen (ANOVA op getransformeerde waarden). Fe.P = Fe/P, NH4.K =  $\text{NH}_4/\text{K}$ . Boxplots of parameter values in the **pore water of the lower shoreline** for different plant communities. Concentrations in  $\mu\text{mol/l}$ . Letters indicate significant differences ( $p \leq 0,05$ ) among types (ANOVA on transformed values). Fe.P = Fe/P, NH4.K =  $\text{NH}_4/\text{K}$ .

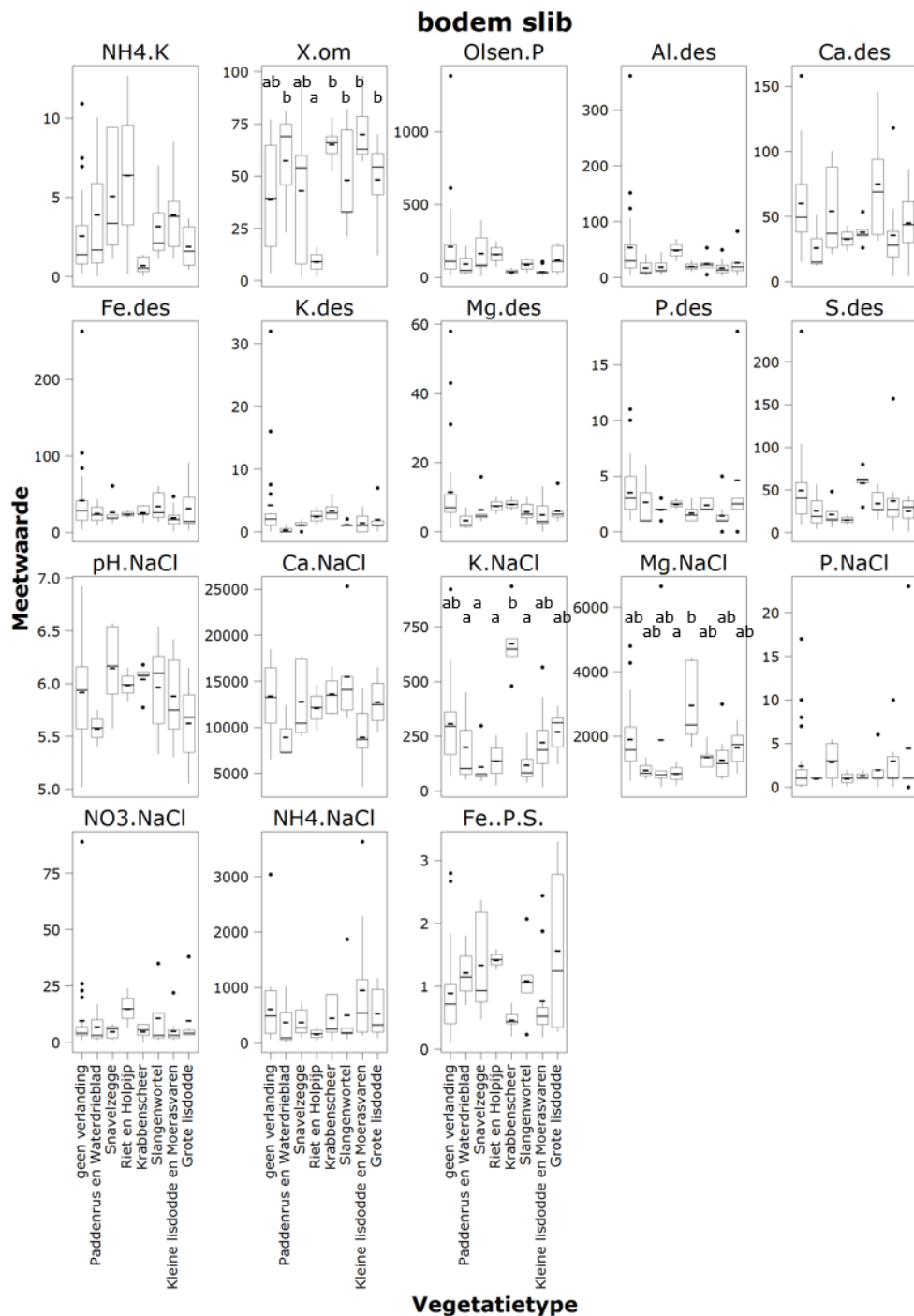




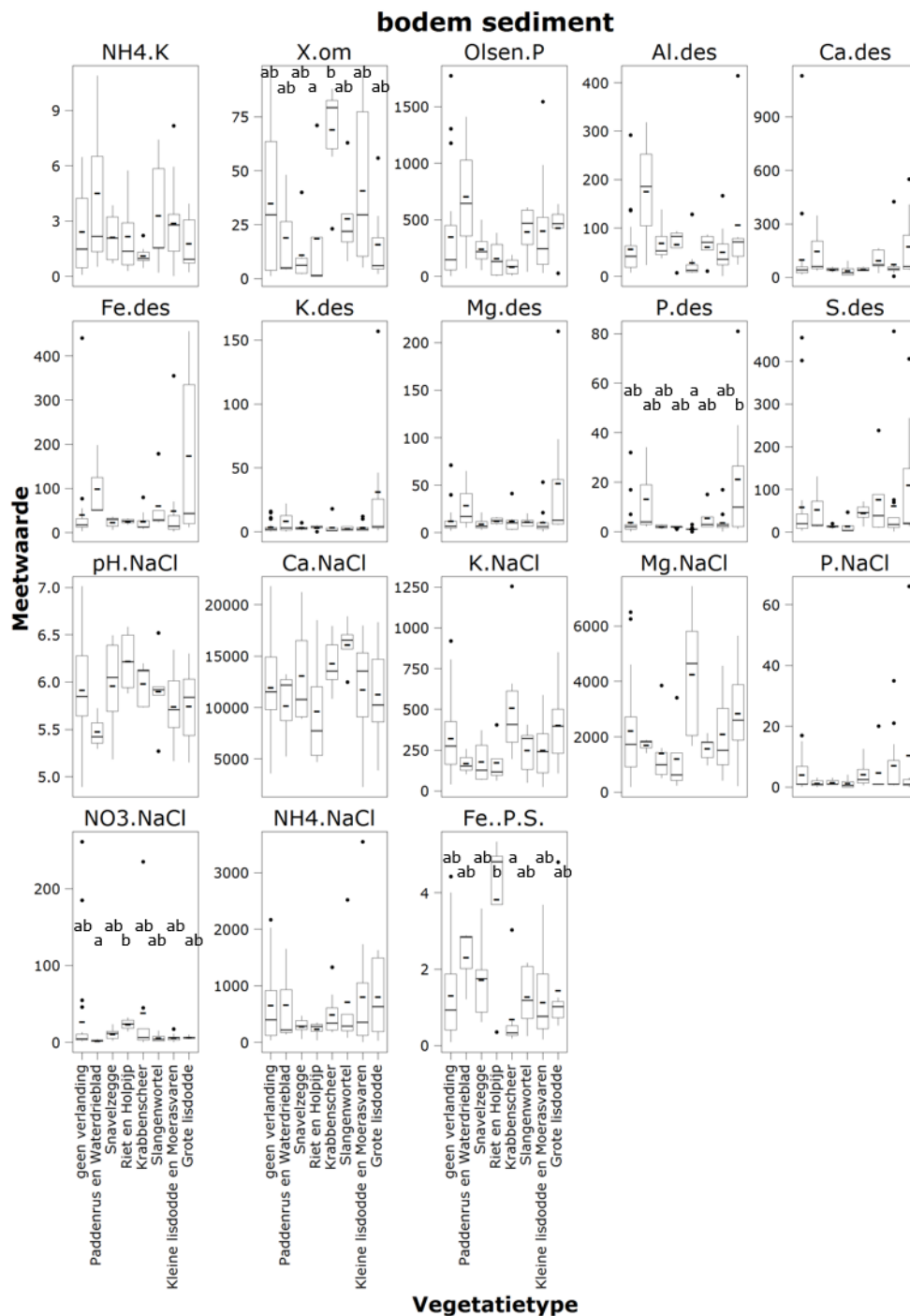
Figuur B7.17. Boxplots van waarden van parameters in het **poriewater van de drijvende kragge** voor verschillende vegetatietypen. Concentraties in  $\mu\text{mol/l}$ . Letters geven significante verschillen ( $p \leq 0,05$ ) weer tussen vegetatietypen (ANOVA op getransformeerde waarden). Fe.P = Fe/P, NH4.K = NH<sub>4</sub>/K. Boxplots of parameter values in the **pore water of the floating quaking fen** for different plant communities. Concentrations in  $\mu\text{mol/l}$ . Letters indicate significant differences ( $p \leq 0,05$ ) among types (ANOVA on transformed values). Fe.P = Fe/P, NH<sub>4</sub>.K = NH<sub>4</sub>/K.



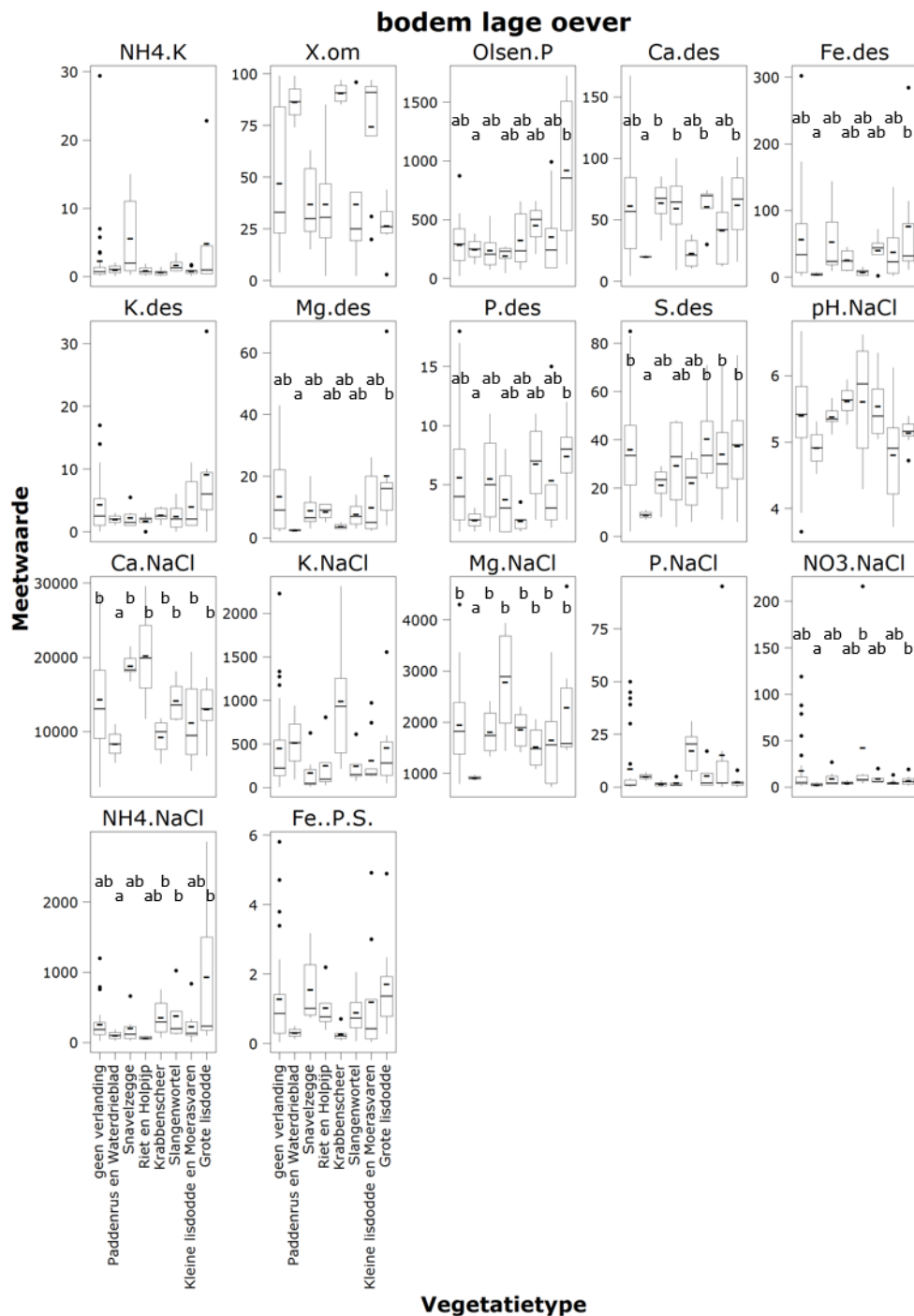
**Figuur B7.18.** Boxplots van waarden van parameters in het **poriewater onder de drijvende kragge** voor verschillende vegetatietypen. Concentraties in  $\mu\text{mol/l}$ . Letters geven significante verschillen ( $p \leq 0,05$ ) weer tussen vegetatietypen (ANOVA op getransformeerde waarden). Fe.P = Fe/P, NH4.K =  $\text{NH}_4/\text{K}$ . Boxplots of parameter values in the **pore water below the floating quaking fen** for different plant communities. Concentrations in  $\mu\text{mol/l}$ . Letters indicate significant differences ( $p \leq 0,05$ ) among types (ANOVA on transformed values). Fe.P = Fe/P, NH4.K =  $\text{NH}_4/\text{K}$ .



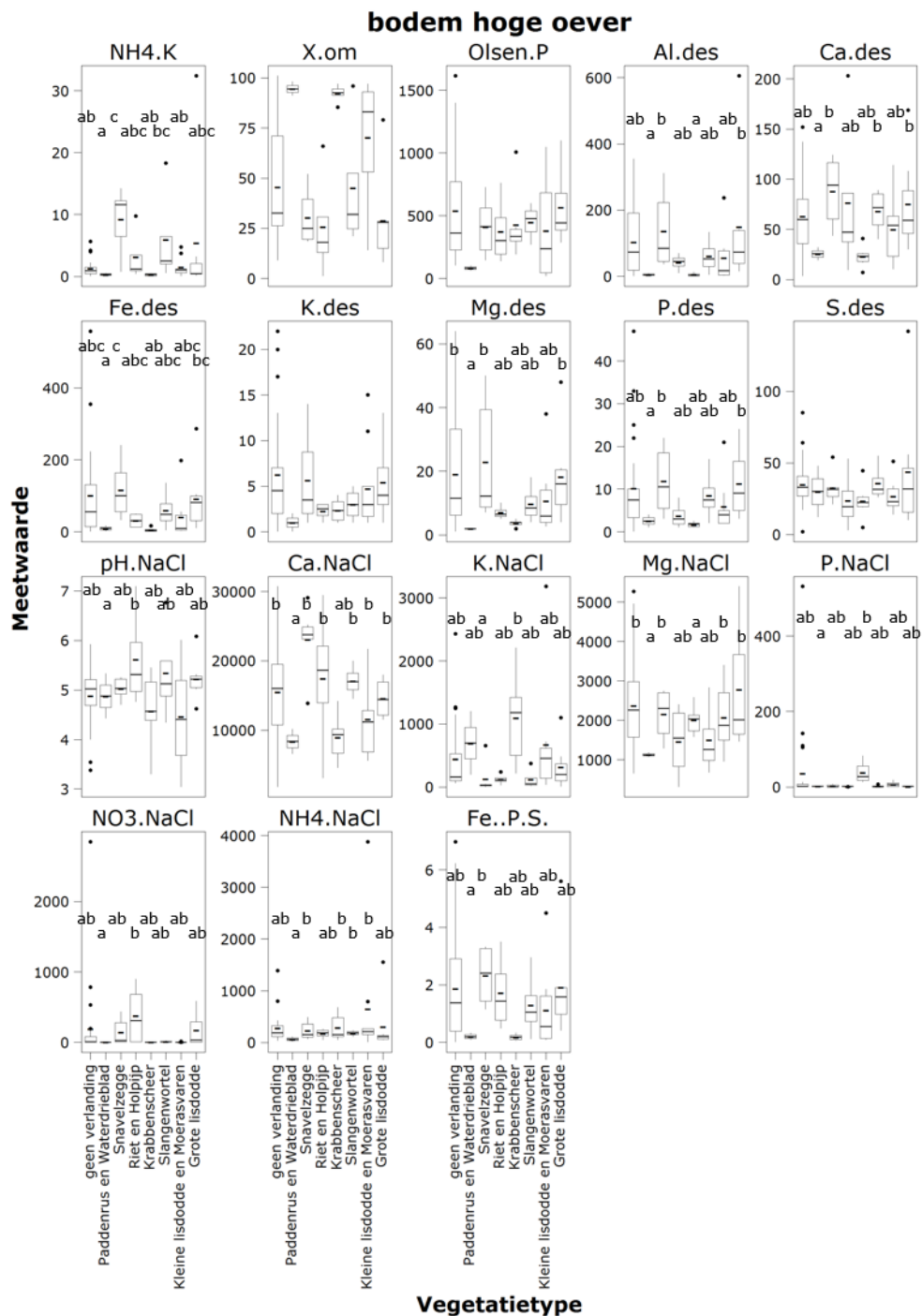
Figuur B7.19. Boxplots van waarden van parameters in de **bodem in het slib** voor verschillende vegetatietypen. Concentraties in  $\mu\text{mol/l}$  bodem. Letters geven significante verschillen ( $p \leq 0,05$ ) weer tussen vegetatietypen (ANOVA op getransformeerde waarden).  $\text{NH}_4.\text{K} = \text{NH}_4\text{-NaCl}/\text{K-NaCl}$ .  $\text{X.om} = \% \text{organische stof}$ ,  $\text{Olsen.P} = \text{P uit het Olsenextract}$ .  $\text{X.des} = \text{totaalconcentratie van element uit de destructie}$ ,  $\text{x.NaCl} = \text{uitwisselbare concentratie in NaCl-extract}$ ,  $\text{Fe..P.S.} = \text{Fe-totaal}/(\text{Ptotaal} + \text{Stotaal})$ . Boxplots of parameter values in the **sludge soil** for different plant communities. Concentrations in  $\mu\text{mol/l}$  soil. Letters indicate significant differences ( $p \leq 0,05$ ) among types (ANOVA on transformed values).  $\text{NH}_4\text{-NaCl}/\text{K-NaCl}$ .  $\text{X.om} = \% \text{organic matter}$ ,  $\text{Olsen.P} = \text{P from Olsen extract}$ .  $\text{X.des} = \text{total concentration of the element from the destruction}$ ,  $\text{x.NaCl} = \text{exchangeable concentration in the NaCl-extract}$ ,  $\text{Fe..P.S.} = \text{Fe-total}/(\text{Ptotal} + \text{Stotal})$ .



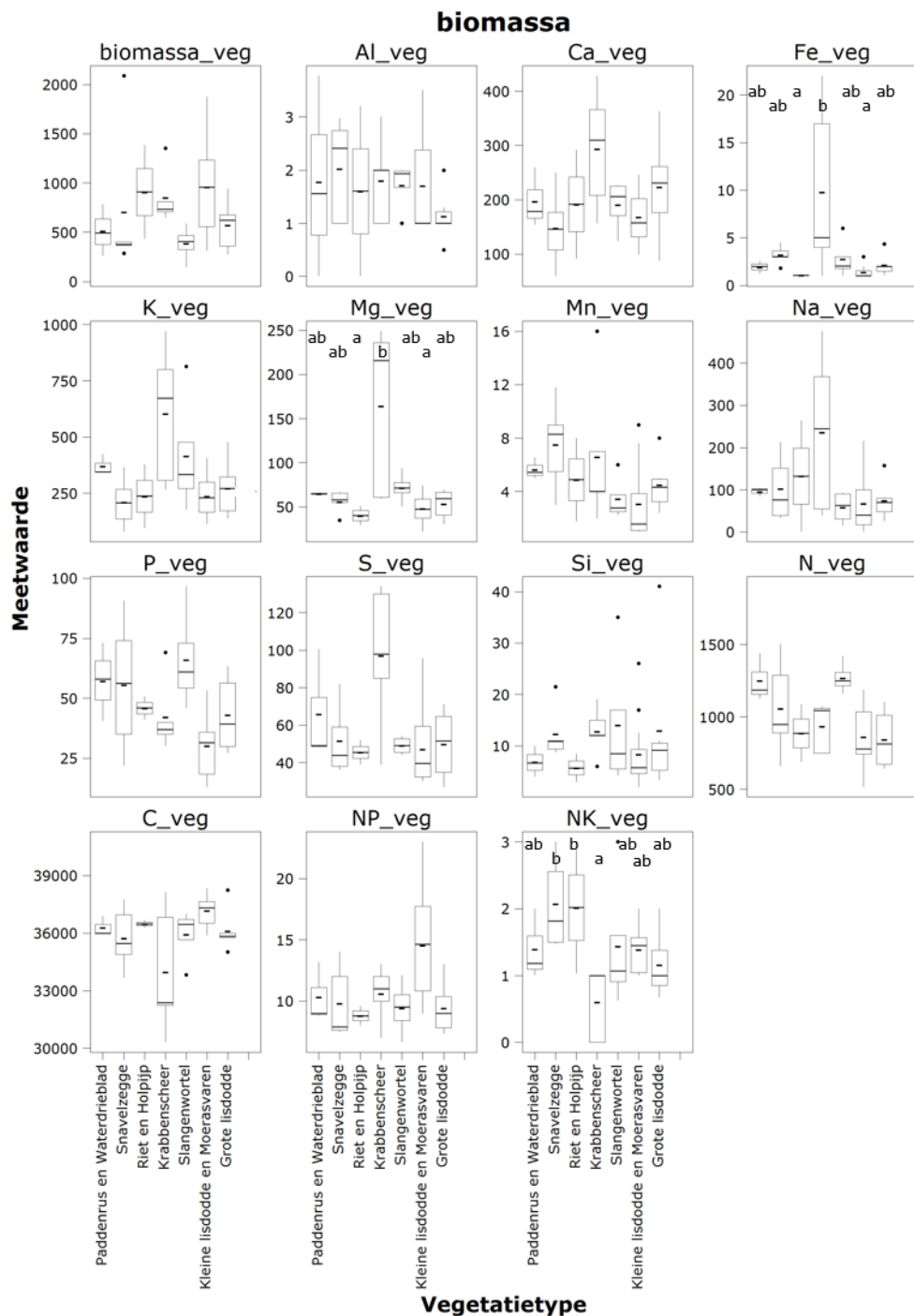
*Figuur B7.20. Boxplots van waarden van parameters in de **bodem in het sediment** voor verschillende vegetatietypen. Concentraties in  $\mu\text{mol/l}$  bodem. Letters geven significante verschillen ( $p \leq 0,05$ ) weer tussen vegetatietypen (ANOVA op getransformeerde waarden).  $\text{NH}_4.\text{K} = \text{NH}_4\text{-NaCl}/\text{K-NaCl}$ .  $\text{X.om} = \%$ organische stof,  $\text{Olsen.P} = \text{P}$  uit het Olsenextract.  $\text{X.des} = \text{totaalconcentratie van element uit de destructie}$ ,  $\text{x.NaCl} = \text{uitwisselbare concentratie in NaCl-extract}$ ,  $\text{Fe..P.S.} = \text{Fe-totaal}/(\text{Ptotaal} + \text{Stotaal})$ . Boxplots of parameter values in the **sediment soil** for different plant communities. Concentrations in  $\mu\text{mol/l}$  soil. Letters indicate significant differences ( $p \leq 0,05$ ) among types (ANOVA on transformed values).  $\text{NH}_4.\text{K} = \text{NH}_4\text{-NaCl}/\text{K-NaCl}$ .  $\text{X.om} = \%$ organic matter,  $\text{Olsen.P} = \text{P}$  from Olsen extract.  $\text{X.des} = \text{total concentration of the element from the destructie}$ ,  $\text{x.NaCl} = \text{exchangable concentration in the NaCl-extract}$ ,  $\text{Fe..P.S.} = \text{Fe-totaal}/(\text{Ptotaal} + \text{Stotaal})$ .*



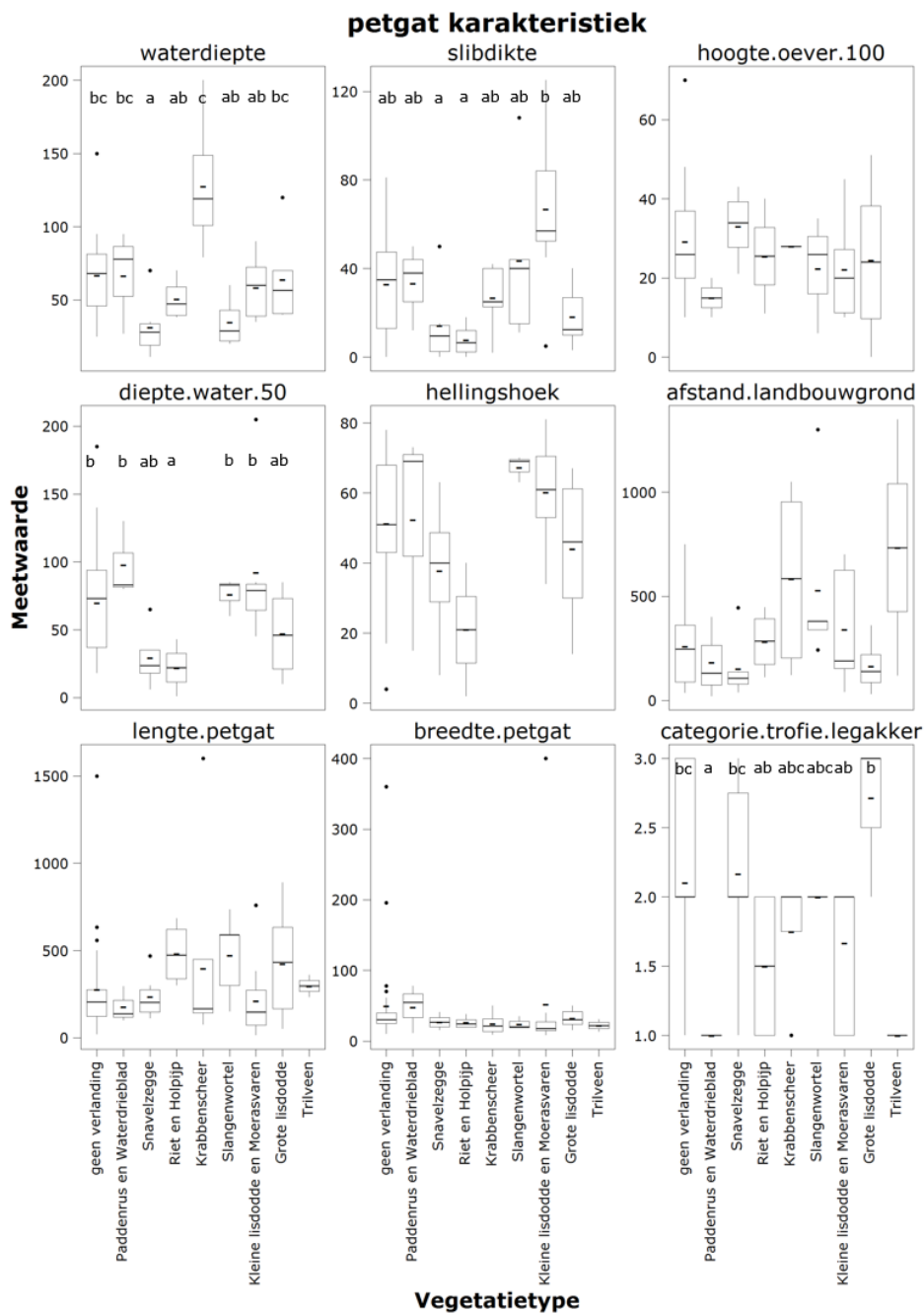
Figuur B7.21. Boxplots van waarden van parameters in de **bodem lage oever** (20 cm van waterlijn) voor verschillende vegetatietypen. Concentraties in  $\mu\text{mol/l}$  bodem. Letters geven significante verschillen ( $p \leq 0,05$ ) weer tussen vegetatietypen (ANOVA op getransformeerde waarden).  $\text{NH}_4.\text{K} = \text{NH}_4\text{-NaCl}/\text{K-NaCl}$ .  $\text{X.om} = \% \text{organische stof}$ ,  $\text{Olsen.P} = \text{P uit het Olsenextract}$ .  $\text{X.des} = \text{totaalconcentratie van element uit de destructie}$ ,  $\text{x.NaCl} = \text{uitwisselbare concentratie in NaCl-extract}$ ,  $\text{Fe..P.S.} = \text{Fe-totaal}/(\text{Ptotaal} + \text{Stotaal})$ . Boxplots of parameter values in the **soil of the lower shoreline** for different plant communities. Concentrations in  $\mu\text{mol/l}$  soil. Letters indicate significant differences ( $p \leq 0,05$ ) among types (ANOVA on transformed values).  $\text{NH}_4.\text{K} = \text{NH}_4\text{-NaCl}/\text{K-NaCl}$ .  $\text{X.om} = \% \text{organic matter}$ ,  $\text{Olsen.P} = \text{P from Olsen extract}$ .  $\text{X.des} = \text{total concentration of the element from the destruction}$ ,  $\text{x.NaCl} = \text{exchangeable concentration in the NaCl-extract}$ ,  $\text{Fe..P.S.} = \text{Fe-total}/(\text{Ptotal} + \text{Stotal})$ .



Figuur B7.22. Boxplots van waarden van parameters in de **bodem hoge oever** (100 cm van waterlijn) voor verschillende vegetatietypen. Concentraties in  $\mu\text{mol/l}$  bodem. Letters geven significante verschillen ( $p \leq 0,05$ ) weer tussen vegetatietypen (ANOVA op getransformeerde waarden).  $\text{NH}_4.\text{K} = \text{NH}_4\text{-NaCl}/\text{K-NaCl}$ .  $\text{X.om} = \% \text{organische stof}$ ,  $\text{Olsen.P} = \text{P uit het Olsenextract}$ .  $\text{X.des} = \text{totaalconcentratie van element uit de destructie}$ ,  $\text{x.NaCl} = \text{uitwisselbare concentratie in NaCl-extract}$ ,  $\text{Fe..P.S.} = \text{Fe-totaal}/(\text{Ptotaal} + \text{Stotaal})$ . Boxplots of parameter values in the **soil of the upper shoreline** for different plant communities. Concentrations in  $\mu\text{mol/l}$  soil. Letters indicate significant differences ( $p \leq 0,05$ ) among types (ANOVA on transformed values).  $\text{NH}_4.\text{K} = \text{NH}_4\text{-NaCl}/\text{K-NaCl}$ .  $\text{X.om} = \% \text{organic matter}$ ,  $\text{Olsen.P} = \text{P from Olsen extract}$ .  $\text{X.des} = \text{total concentration of the element from the destruction}$ ,  $\text{x.NaCl} = \text{exchangeable concentration in the NaCl-extract}$ ,  $\text{Fe..P.S.} = \text{Fe-total}/(\text{Ptotal} + \text{Stotal})$ .



Figuur B7.23. Boxplots van waarden van parameters in de **bovengrondse biomassa** voor verschillende vegetatietypen. Biomassa\_veg = bovengrondse biomassa (drooggewicht) in g/m<sup>2</sup>. Concentraties in mmol/g dw. Letters geven significante verschillen ( $p \leq 0,05$ ) weer tussen vegetatietypen (ANOVA op getransformeerde waarden). NP= N/P-verhouding in g/g. NK=N/K-verhouding in g/g. Boxplots of parameter values in the **aboveground biomass** for different plant communities. Concentrations in mmol/g dw. Letters indicate significant differences ( $p \leq 0,05$ ) among types (ANOVA on transformed values). NP= N/Pratio in g/g. NK=N/K ratio in g/g.



**Figuur B7.24.** Boxplots van waarden van **petgatkarakteristieken** voor verschillende vegetatietypen. Letters geven significante verschillen ( $p \leq 0,05$ ) weer tussen vegetatietypen (ANOVA op getransformeerde waarden). *Hoogte.oever.100* = hoogte oever op 100 cm van waterlijn, *diepte.water.50* = diepte van water op 50 cm van de oever. *Hellingshoek* is de hoek in graden die de oever met de legakker maakt over de eerste 30 cm van de oever ( $90^\circ$  = stijl,  $0^\circ$  = vlak). *Afstand.landbouwgrond* = afstand van petgat tot dichtstbijzijnde landbouwgrond ivm fourageerplaats ganzen, *categorie.trofie.legakker* = in het veld aan de hand van vegetatie ingeschatte trofiegraad van de legakker (1 = mesotroof, 2 = eutroof, 3 = hypertroof). Boxplots of parameter values in the **aboveground biomass** for different plant communities. *Hoogte.oever.100* = hight of shore at 100 cm from te shoreline, *diepte.water.50* = water depth at 50 cm from the shorline. *Hellingshoek* is the angle in of the shore over the first 30 cm from the shoreline ( $90^\circ$  = steep,  $0^\circ$  = flat). *Afstand.landbouwgrond* = distance to nearest agricultural land in connection with feeding places for geeze, *categorie.trofie.legakker* = trophic state of the shore estimated in the field (1 = mesotrophic, 2 = eutrophic, 3 = hypertrophic).